

Maître d'Ouvrage

DRE Auvergne / Service Maîtrise d'ouvrage

Approuvé par le maître d'ouvrage

DRE Auvergne / SMO 7 rue Léo Lagrange 63033 Clermont Ferrand

RN 88 Contournement du PUY EN VELAY

Opération n° 03 Q 43 A

VIADUC DE TAULHAC

Dossier de consultation des opérateurs économiques

2-2.5 - Note de calcul du tablier

Maître d'Oeuvre

DIR Massif Central / Service Ingénierie Routière du Puy

DIR MC / SIR 18 rue Jean Solvain 43000 Le Puy en Velay Etabli et présenté par le maître d'oeuvre

Date:

Direction Régionale de l'Equipement Auvergne

7 Rue Léo Lagrange 63033 CLERMONT-FERRAND

Direction Interdépartementale des Routes Service d'Ingénierie Routière

18 rue J Solvain 43012 LE PUY EN VELAY CEDEX

RN 88 — Contournement du Puy en Velay

Solution Mixte 2.2.5 — Note de calculs du tablier

Mai 2009

Centre d'études Techniques de l'équipement de Lyon

Département Infrastructures et Transports 46, rue Saint Théobald BP 128 – 38081 l'Isle d'Abeau Cédex tél : 04 74 27 53 00 / fax : 04 74 27 68 75 EQ-CT69-DIT--09-10--FR

| Chef de projet : Arnold BALLIERE |
|---|
| |
| Responsable de domaine : Renaud LECONTE |
| Auteurs de l'étude : Arnold BALLIERE - Christophe HERBERT |
| |

Sommaire

| Sommaire | | 3 |
|--|----|----|
| Introduction | | 4 |
| 1 Objet de la note | | |
| 2 Caractéristiques de l'ouvrage | | |
| • | | |
| Tablier | | |
| 1 Données Générales | | |
| 1.1 Règlements de calculs | | |
| 1.2 Charpente | | |
| 1.3 Phasages de réalisation | | |
| 1.4 Ferraillage longitudinal de la dalle | | |
| 1.5.1Béton | | |
| 1.5.2Acier | | |
| 2 Actions | | 11 |
| 2.1 Actions permanantes | | |
| 2.2 Retraits. | | |
| 2.3 Fluage – Coefficients d'équivalence | 15 | |
| 2.4 Actions variables | | |
| 2.4.1Surcharges retenues sur l'ouvrage | | |
| 2.4.2Répartition transversale des surcharges 2.4.3Charges de fatigue | | |
| 2.4.4Actions thermiques | | |
| 3 Combinaisons d'actions | | 19 |
| 3.1 Combinaisons ELU (autre que fatigue) | | |
| 3.2 Combinaisons ELS | | |
| 4 Analyse globale | | 20 |
| 4.1 Principe de calcul | | |
| 4.2 Analyse Non fissurée (ANF) | 20 | |
| 4.3 Analyse fissurée (AF) – principaux résultats | | |
| 4.3.1État à vide en fin de bétonnage | 21 | |
| 4.3.2État à vide après pose des superstructures4.3.3État à vide | 21 | |
| 4.3.4Charges de trafic | | |
| 4.3.5Combinaison caractéristique ELS | | |
| 4.3.6Combinaison fondamentale ELU | 25 | |
| 4.3.7Contraintes normales en face supérieure de la dalle | | |
| 4.3.8Contraintes normales en nappe supérieure d'armatures 5 Justifications des sections aux ELU | | 29 |
| 5.1 Sections en travée | | |
| 5.1 Sections on travee | | |
| 6 Justifications des sections aux ELS | | |
| 6.1 Vérification de la dalle | | |
| 6.2 Vérification de la poutre | | |
| 6.3 Maîtrise de la fissuration | | |
| 6.4 Connexion. | | |
| 7 Autres justifications | | |
| 7.1 Rigidité des montants verticaux | | |
| 7.2 Déversement de la membrure inférieure | | |
| 7.3 Lancage | 46 | |

Introduction

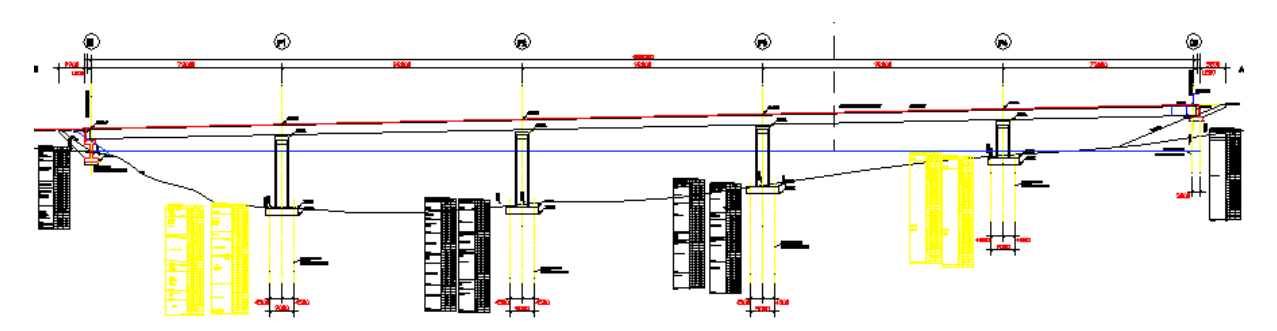
1 Objet de la note

Cette note a pour objet la justification au stade Projet d'Ouvrage d'Art, du Viaduc de Taulhac dans le cadre du Contournement du Puy en Velay (RN88). L'ouvrage permet le franchissement d'un vallon de 400 m de largeur, orienté Nord-Sud.

Cette note traite uniquement du tablier. Les hypothèses retenues sont présentées et les résultats principaux issus des logiciels de calculs ou de tableurs sont insérés. Le mode de construction de l'ouvrage et les justifications correspondantes figurent également.

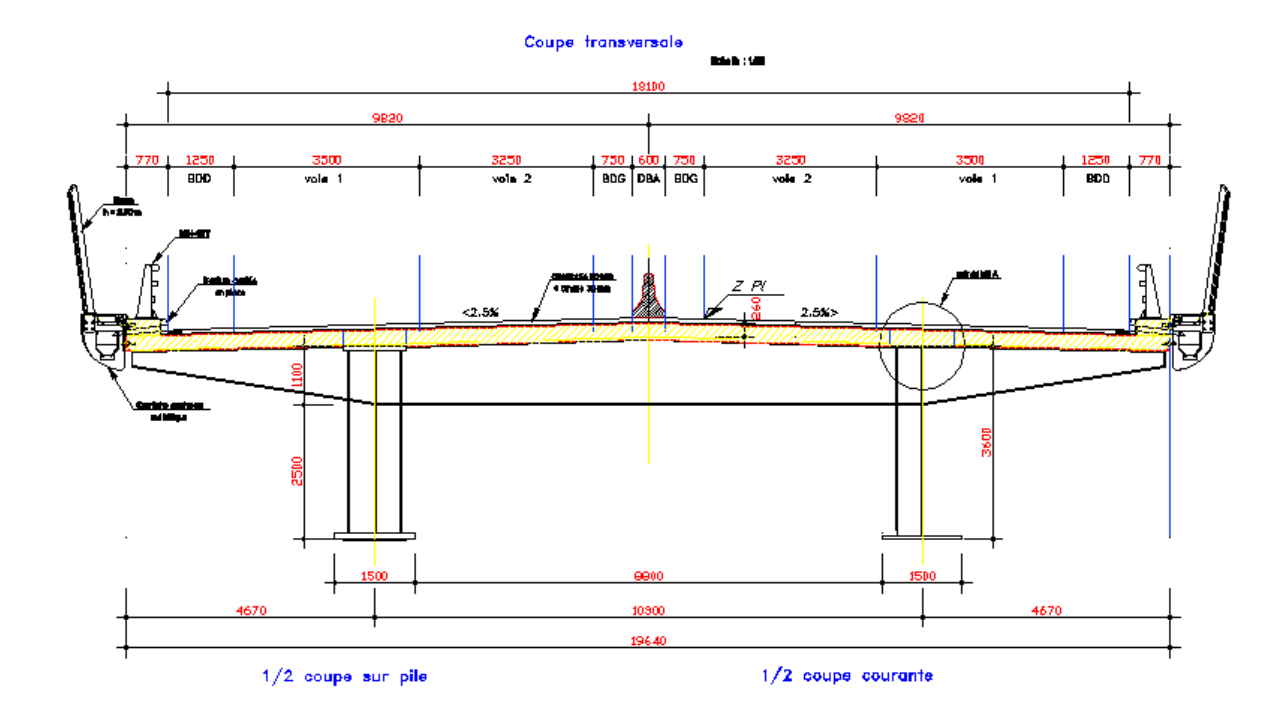
2 Caractéristiques de l'ouvrage

L'ouvrage principal est de type bipoutre à pièces de pont et consoles, d'une longueur totale de 422 m. Il comporte 5 travées de portées : 73 – 92 – 92 – 92 – 93 m.



L'ouvrage est droit. Les lignes d'appui sur piles et culées sont perpendiculaires à l'axe longitudinal de l'ouvrage.

L'ouvrage est constitué d'un tablier unique portant les deux chaussées.



Le profil en travers du tablier est constitué comme suit :

- une longrine support de BN4-16 de 0,77 m,
- une bande dérasée de droite de 1,25 m,
- une chaussée à deux voies de circulation de 6,75 m (3,50 m + 3,25 m),
- une bande dérasée de gauche de 0,75 m,
- une DBA de 0,60 m,
- une bande dérasée de gauche de 0,75 m,
- une chaussée à deux voies de circulation de 6,75 m,
- une bande dérasée de droite de 1,25 m,
- une longrine support de BN4 de 0,77 m.

Ceci conduit à une largeur de dalle de couverture de 19,64 m.

L'écartement des poutres de l'ouvrage est de 10,30 m. La largeur des encorbellements est de 4,67 m. Les éléments transversaux sont constitués de pièces de pont et de consoles espacées de 4,00 m sur les travées courantes de 92 m. Sur les travées de rive, l'espacement est de 4,06 m sauf pour le dernier élément au droit des culées pour lequel il est de 3,98 m.

L'épaisseur de la dalle est de 0,26 m.

Le tracé en plan de l'ouvrage est rectiligne.

Le profil en long de l'ouvrage est constitué d'une pente de 2,14% de la culée C5 vers la culée C0.

Les appuis de l'ouvrage sont en béton armé fondés sur pieux à l'exception de la culée C0 fondée superficiellement.

Le tablier de l'ouvrage repose sur ces appuis par l'intermédiaire d'appareils d'appui à pot.

Tablier

1 Données Générales

1.1 Règlements de calculs

Le tablier est justifié selon les Eurocodes définis ci-après :

- les normes NF EN 1990 et NF EN 1990/A1 et leurs annexes nationales,
- les normes NF EN 1991-1-1 et NF EN 1991-1-3 à NF EN 1991-1-7 ainsi que leurs annexes nationales,
- la norme NF EN 1991-2 et son annexe nationale.
- les normes NF EN 1992-1-1 et NF EN 1992-2 et leurs annexes nationales,
- les normes NF EN 1993-1-1, NF EN 1993-1-5, NF EN 1993-2 et leurs annexes nationales,
- les normes NF EN 1994-1-1 et NF EN 1994-2 et leurs annexes nationales

1.2 Charpente

La charpente est mise en place par lancement.

Poutres principales

Chaque poutre de 3600 mm de hauteur est constituée d'une membrure supérieure de 1200 mm de largeur et une membrure inférieure de 1500 mm de largeur. Les épaisseurs des éléments sont définies dans le tableau suivant :

| | | Travée de rive | | | Travée courante | | | | | | | |
|------------------------|--------|----------------|-----|-----|-----------------|-----|-----|-----|------|-----|-----|-----|
| Longueur | | 56 m | 6 m | 6 m | 5 m | 5 m | 6 m | 6 m | 58 m | 6 m | 6 m | 5 m |
| Membrure Supérieure | 1200 x | 40 | 50 | 65 | 95 | 95 | 65 | 50 | 40 | 50 | 65 | 95 |
| Âme | | 30 | 35 | 35 | 40 | 40 | 35 | 35 | 30 | 35 | 35 | 40 |
| Membrure Inférieure | 1500x | 50 | 60 | 75 | 100 | 100 | 75 | 60 | 50 | 60 | 75 | 100 |
| Nuance | | S35 | 55 | | S4 | 60 | | | S355 | | S4 | 60 |

Eléments transversaux

Pièces de pont : PRS

Semelle sup: 300 x 30 mm

Ame: épaisseur 20 mm hauteur 1200 mm minimum

Semelle inf: 400 x 40 mm

Consoles: PRS

Semelle sup: 300 x 30 mm

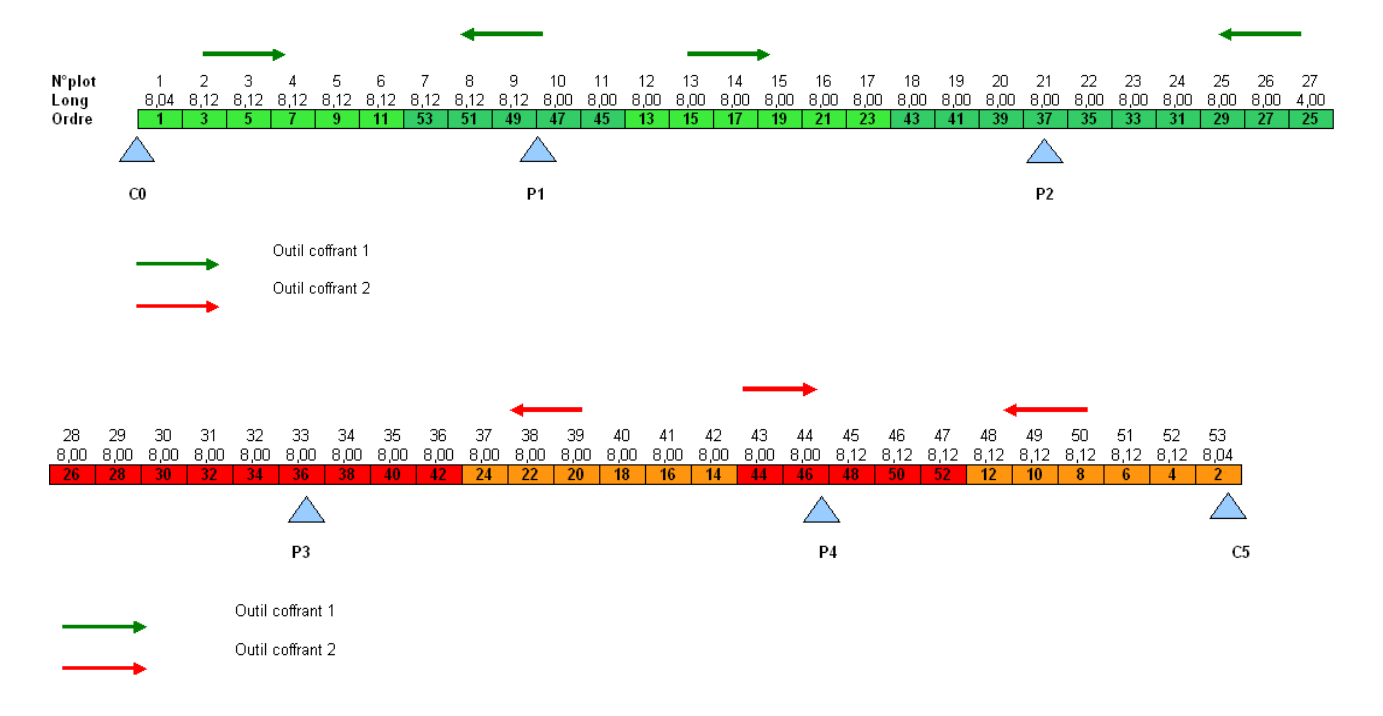
Ame: épaisseur 20 mm hauteur 300 à 1200 mm

Semelle inf: 400 x 40 mm

1.3 Phasages de réalisation

Dalle de couverture

La dalle de couverture est réalisé par pianotage à l'aide de 2 outils coffrants suivant le schéma suivant :



La dalle est découpée en 53 plots :

- travée de rive : le plot d'extrémité est de 8,04 m et les plots courants suivants sont de 8,12 m;
- travée courante : les plots sont de 8,00 m à l'exception du plot central (travée 3) qui présente une longueur de 4,00 m.

Ce découpage permet d'obtenir des plots reposant aux extrémités sur les pièces de pont tant sur les travées de rive que sur les travées principales.

On considère une durée de réalisation de 3 plots par semaine soit une durée de 126 jours (18 semaines) pour la réalisation complète de la dalle. L'âge moyen du béton des plots, à la fin de réalisation de la dalle, est prise égale à la moitié de la durée de bétonnage soit t_0 = 63 jours.

Superstructures

La durée de réalisation des superstructures est prise égale à 87 jours. On obtient ainsi l'âge moyen du béton à la fin de réalisation des superstructures t_0 = 150 jours.

Pour les calculs à la mise en service (court terme) on considère l'âge moyen du béton t = 150 jours.

1.4 Ferraillage longitudinal de la dalle

En partie courante des travées : 64 HA 16 (s=153 mm) par nappe et par poutre soit un taux de 1,00%.

En zones d'appuis intermédiaire : on considère un taux de 1,15% réparti comme suit :

- 64 HA 16 (s=153 mm) par poutre pour la nappe inférieure (soit un taux de 0,50%)
- 64 aciers (HA16 et HA20 alternés) par poutre pour la nappe supérieure (soit un taux de 0,65%).

Ce taux de ferraillage est appliqué sur 20% de la portée de part et d'autre des appuis intermédiaires.

| Pour les justifications de flexion longitudinale on considère que les armatures de chaque nappe sont placées à mm du parement béton. |
|--|
| (la feuille ci-après détaille le calcul de l'aire minimale des armatures à mettre en oeuvre en zone courante). |
| |
| |
| |
| |
| |
| |
| |
| |
| |
| |
| |
| |
| |
| |
| |
| |
| |
| |
| |

50

Aire minimale des armatures de dalle

Hypothèses

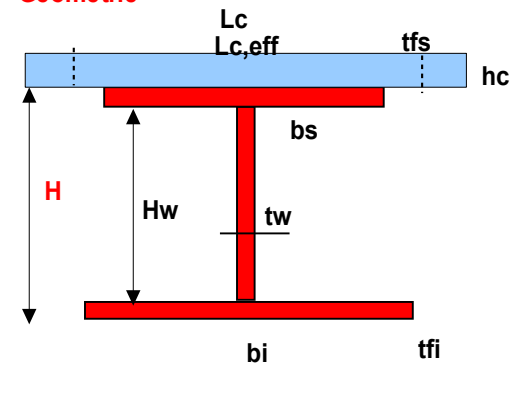
wk= 0,3 mm (ouverture des fissures)

Matériaux

| tck= | 35 | MPa (fct,eff=fctm) | |
|-------|-------|--------------------------|------------------|
| fctm= | 3,2 | MPa | EN1994-2 (7.4.2) |
| fct,0 | 2,9 | MPa | EN1994-2 (7.4.2) |
| Ecm= | 34077 | MPa (22000.(fcm/10)^0.3) | |

HA 16 mm (Diamètre de la barre) HA 14,45 mm (Diamètre équivalent
$$\Phi^*$$
) EN1994-2 (7.4.2) SigmaS= 240 MPa – Contrainte de comparaison

Géométrie



| L= | 92 | portée courante |
|---------|------|--------------------------------|
| b0= | 0,9 | entraxe connecteurs en saillie |
| b1= | 4,22 | m (L géométrique gauche) |
| b2= | 4,70 | m (L géométrique) |
| hc = | 0,26 | m |
| Lc,eff= | 9,82 | m (L efficace travée courante) |
| bs= | 1200 | mm |
| tfs= | 30 | mm |
| H= | 3600 | mm |
| hw= | 3530 | mm |
| tw= | 25 | mm |
| bi= | 1400 | mm |
| tfi= | 40 | mm |

Par rapport à l'interface poutre/hourdis :

Centre de gravité du hourdis 0,130 m Centre de gravité métal seul 1,994 m

Distance entre CdG du hourdis et CdG de la section mixte (no)

d'où Kc= 1,0 Kc calculé =1,24220130721758>1

Aire minimale des armatures de dalle

$$\rho_s \ge \frac{0.9.k_c.k.f_{ctm}}{\sigma_s}$$

k = 0.8

1.5 Matériaux

1.5.1 Béton

Le béton envisagé pour le hourdis est un C35/45. Ses caractéristiques principales sont les suivantes :

- résistance caractéristique à la compression : fck=35 MPa ;
- résistance caractéristique à la traction : fctm=3,2 MPa ;
- module sécant d'élasticité pour les actions à court terme : Ecm=34077 MPa ;
- coefficient partiel : γ_c = 1,5;
- coefficient de dilatation thermique : α =1.10 $^{-5}$ /°C ;

1.5.2 Acier

Acier de charpente

Les aciers de charpente sont des aciers de nuance S355 et S460 (zones d'appui). Il s'agit des aciers non alliés pour des épaisseurs jusqu'à 30 mm (norme EN 10025-2) et des aciers à grains fins livrés à l'état normalisé au delà de 30 mm (norme EN 10025-3).

La limite d'élasticité fy, dépendant de l'épaisseur de la tôle, est donnée dans la norme EN 10025 :

Acier S355:

| Epaisseur (mm) | Limite d'élasticité fy (MPa) | Qualité |
|----------------|------------------------------|----------|
| t ≤ 16 | 355 | S 355 K2 |
| 16 < t ≤ 30 | 345 | S 355 K2 |
| 30 < t ≤ 40 | 345 | S 355 N |
| 40 < t ≤ 63 | 335 | S 355 N |
| 63 < t ≤ 80 | 325 | S 355 N |
| 80 < t ≤ 100 | 315 | S 355 NL |
| t > 100 | 295 | S 355 NL |

Acier S460:

| Epaisseur (mm) | Limite d'élasticité fy (MPa) | Qualité |
|-----------------|------------------------------|----------|
| $16 < t \le 40$ | 440 | S 460 M |
| 40 < t < 50 | 430 | S 460 M |
| 50 ≤ t ≤ 63 | 430 | S 460 ML |
| 63 < t ≤ 80 | 410 | S 460 ML |
| 80 < t ≤ 100 | 400 | S 460 ML |

On retient également les autres caractéristiques suivantes :

- module délasticité : Ea=210000 MPa;
- coefficient partiel pour résistance des sections transversales : γ_{M0} = 1;
- coefficient partiel pour résistance des barres aux instabilités : γ_{M1} = 1,1;
- coefficient de dilatation thermique : α =1.10⁵ /°C;

Acier de béton armé

Les aciers de béton armé sont de nuance B500B dont les caractéristiques sont les suivantes :

- module d'élasticité : Es=200000 MPa (par simplification et conformément à l'EN 1994-2 on prendra Es=Ea=210000 MPa);
- limite d'élasticité : fsk=500 MPa ;
- coefficient partiel : γ_s = 1,15;
- coefficient de dilatation thermique : α =1.10⁻⁵ /°C;

Connecteurs

On retient des goujons de 22 mm de diamètre en acier S235J2G3 dont la résistance caractéristique à la rupture vaut fu=450 MPa. La distance b0 entre connecteurs de rive est prise égale à 90 cm.

Coefficients partiels de sécurité à l'ELS

- béton : γ_c = 1,0; - armatures : γ_s = 1,0; - acier : $\gamma_{\text{M,ser}}$ = 1,0;
- goujons : γ_v = 1,25;

2 Actions

2.1 Actions permanantes

Poids propre

Les effets du poids propre des éléments structuraux (hourdis et charpente) sont déterminés sur la base des plans de coffrage en attribuant :

- au béton une densité de 26,5 kN/m³ (béton roche massive);
- au métal une densité de 77 kN/m³.

Le poids de la dalle de couverture est appliqué aux poutres métalliques de manière égale (symétrie du profil), soit 19,64x 0,26 x 26,5/ 2 = **67,7 kN/ml** par poutre.

Le poids des éléments transversaux (pièces de pont, consoles et raidisseurs transversaux) représente **10 kN/ml** par poutre (poids évalué à partir des dimensions des pièces).

Superstructures

Pour les éléments non structuraux (superstructures), les effets sont déterminés en considérant des valeurs caractéristiques inférieure et supérieure du poids propre.

Le détail des superstructures et des charges apportées à la structure est développé ci-après.

Superstructures

Poids des éléments (x à gauche et x à droite d'un point fixe choisi)

| | | хà | | densité | Poids |
|------------|-----------|--------|------------|-----------|----------|
| Eléments | Epaisseur | gauche | x à droite | (kN/m3 ou | nom (KN/ |
| | (m) | (m) | (m) | /ml) | ml) |
| Etanchéité | 0,03 | -9,05 | 9,05 | 23,5 | 12,76 |
| Enrobé | 0,08 | -9,05 | 9,05 | 23,5 | 34,03 |
| Longrine g | 0,28 | -9,82 | -9,05 | 26,5 | 5,71 |
| Longrine d | 0,28 | 9,05 | 9,82 | 26,5 | 5,71 |
| | | | | | 0,00 |
| | | | | | 0,00 |
| corniche g | | -9,82 | -9,82 | 3,0 | 3,00 |
| corniche d | | 9,82 | 9,82 | 3,0 | 3,00 |
| BN4 g | | -9,45 | -9,45 | 0,69 | 0,69 |
| BN4 d | | 9,45 | 9,45 | 0,69 | 0,69 |
| DBA | | 0,00 | 0,00 | 6,52 | 6,52 |
| Boue g | | -9,82 | -9,82 | 1,69 | 1,69 |
| Boue d | | 9,82 | 9,82 | 1,69 | 1,69 |

Rho=14,7 kN/m3 S=11,5 dm² (> S nécessaire)

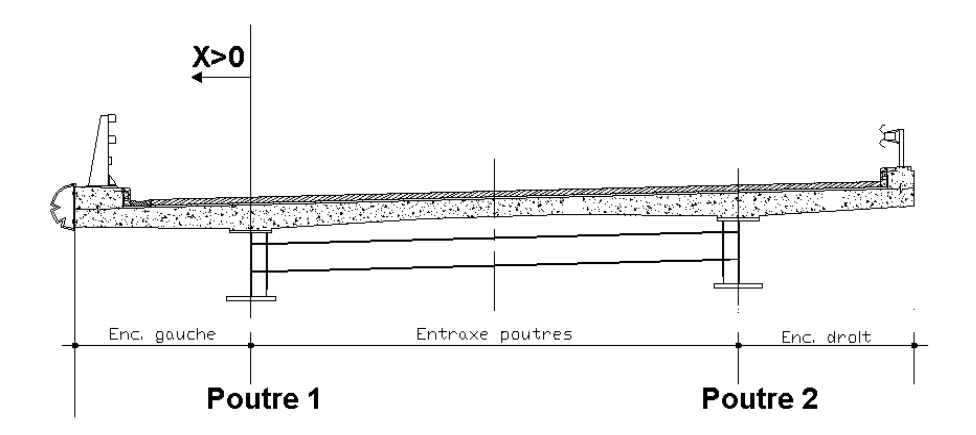
point choisi : axe de l'OA

Répartition transversale des charges

Données:

entraxe des poutres : 10,30 m

Les éléments sont définis % distance de la poutre 1 (poutre G)



Les réactions sur les deux poutres sont déterminées selon **Courbon**. X est la position du CdG de l'élément % poutre 1.

Répartition superstructures

| Superstructures | Poids | Dist. % poutre 1 | Pond. Max | Pond. Min | Poutre ' | l Réactions | s (kN/ml) | Poutre 2 | 2 Réactions | s (kN/ml) |
|-----------------|---------|------------------|--------------|--------------|----------|-------------|-----------|----------|-------------|-----------|
| | (kN/ml) | (m) | | • | R1nom. | R1max | R1min | R2nom. | R2max | R2min |
| Etanchéité | 12,76 | -5,15 | 1,2 | 0,8 | 6,38 | 7,66 | 5,10 | 6,38 | 7,66 | 5,10 |
| Enrobé | 34,03 | -5,15 | 1,4 | 0,8 | 17,01 | 23,82 | 13,61 | 17,01 | 23,82 | 13,61 |
| Longrine g | 5,71 | 4,29 | 1,0 | 1,0 | 8,09 | 8,09 | 8,09 | -2,38 | -2,38 | -2,38 |
| Longrine d | 5,71 | -14,59 | 1,0 | 1,0 | -2,38 | -2,38 | -2,38 | 8,09 | 8,09 | 8,09 |
| | | | | | | | | | | |
| corniche g | 3 | 4,67 | 1,0 | 1,0 | 4,36 | 4,36 | 4,36 | -1,36 | -1,36 | -1,36 |
| corniche d | 3 | -14,97 | 1,0 | 1,0 | -1,36 | -1,36 | -1,36 | 4,36 | 4,36 | 4,36 |
| BN4 g | 0,69 | 4,3 | 1,0 | 1,0 | 0,98 | 0,98 | 0,98 | -0,29 | -0,29 | -0,29 |
| BN4 d | 0,69 | -14,6 | 1,0 | 1,0 | -0,29 | -0,29 | -0,29 | 0,98 | 0,98 | 0,98 |
| DBA | 6,52 | -5,15 | 1,0 | 1,0 | 3,26 | 3,26 | 3,26 | 3,26 | 3,26 | 3,26 |
| Boue g | 1,69 | 4,67 | 1,0 | 0,0 | 2,46 | 2,46 | 0,00 | -0,77 | -0,77 | 0,00 |
| Boue d | 1,69 | -14,97 | 1,0 | 0,0 | -0,77 | -0,77 | 0,00 | 2,46 | 2,46 | 0,00 |
| Total | 75,5 | (kN/ml) | | Total | 37,75 | 45,83 | 31,38 | 37,74 | 45,83 | 31,38 |

Poutre la plus chargée :

 Qnom :
 37,75
 kN/ml

 Qmax :
 45,83
 kN/ml

 Qmin :
 31,38
 kN/ml

2.2 Retraits

Les déformations de retrait à la mise en service (court terme) et à long terme sont calculées dans le tableau suivant :

--- E

Caractéristiques béton :

Caractéristiques acier :

| Fck= | 35 | Mpa |
|------|----|-----|
| Fcm= | 43 | MPa |
| _ | | |

Ecm= 34077 MPa Es= 210000 MPa

Caractéristiques dalle :

| Ldalle= | 19,64 | M |
|--------------|-------|---|
| Epdalle= | 0,26 | M |
| Entr.poutre= | 10,30 | M |
| Largsemsup= | 1,200 | M |

Section de la dalle béton Ac= 5,190 M^2 U= 17,760 M Périmètre au contact de l'air h0= 585 Rayon moyen mm RH= 80 % Degré d'humidité

Ciment

Ciment à prise : normale classe N

 $\alpha ds1 = 4$ $\alpha ds2 = 0,12$

Retrait endogène

ε ca,inf= 6,25E-5 Retrait endogène au temps infini to à CT (jours)

 β ast= 0,91

ε ca,t= 5,71E-5 (=β ast * ε ca,inf)

Retrait de dessiccation

β RH= 0,76 ε cd,0= 2,53E-4 Retrait de dessiccation de référence

Kh= 0,7 Coefficient dépendant de ho

to (jours) 150 ts (jours) 1 β dst (t0,ts)= 0,209

ε cd,t= 3,70E-5 (= β ds(t0,ts) *Kh* ε cd,0)

 ϵ cd,inf= 1,77E-4 (=Kh* ϵ cd,0) valeur finale du retrait de dessiccation

BILAN RETRAITS

Retrait thermique α th= 1E-4 Valeur conseillée : 0,0001

Court Terme : ϵ ct= 1,94E-4 Long Terme : ϵ lt= 2,40E-4

2.3 Fluage – Coefficients d'équivalence

Les coefficients d'équivalence sont calculés dans le tableau suivant :

Caractéristiques béton :

Caractéristiques acier :

Fck= 35 Mpa Es= 210000 MPa

Fcm= 43 MPa (fck+8)

Ecm= 34077 MPa (22000.(fcm/10)\dagged0.3)

Caractéristiques dalle :

 Ldalle=
 19,64
 M

 Epdalle=
 0,26
 M

 Entr.poutre=
 10,30
 M

 Largsemsup=
 1,200
 M

RH= 80 % Degré d'humidité

Court terme

No= 6,162 Es/Ecm

Détail long terme

 $\begin{array}{cccc} \alpha \, 1 = & 0.87 & \text{(35/fcm)}^{\circ} 0.7 \\ \alpha \, 2 = & 0.96 & \text{(35/fcm)}^{\circ} 0.2 \\ \alpha \, 3 = & 0.9 & \text{(35/fcm)}^{\circ} 0.5 \\ \beta \text{ (fcm)=} & 2.56 & 16.8/\text{(fcm}^{\circ} 0.5) \end{array}$

Coefficients d'équivalence $nL = no.(1+\psi L.\phi o(to))$

| | to (jours) | ΨL | β (to) | Фо | nL |
|-----------------|------------|------|--------|------|-------|
| Retrait | 1 | 0,55 | 0,91 | 2,7 | 15,31 |
| Betonnage | 63 | 1,1 | 0,42 | 1,24 | 14,58 |
| Superstructures | 150 | 1,1 | 0,35 | 1,05 | 13,29 |

2.4 Actions variables

2.4.1 Surcharges retenues sur l'ouvrage

Découpage de la chaussée

Largeur W de chaussée : Largeur chargeable totale de trottoirs :

Nombre de voies conventionnelles nl : Largeur d'une voie wl :

Largeur de l'aire résiduelle :

18,10 m 0,00 m 6 3,00 m

m

0,10

(abstraction de la DBA)

Charges verticales

Classe de l'ouvrage :

Modèle de charge 1 (LM1)

| | | Airo rácidualla | Voie n° |
|-----------|---------------------|-----------------|---------|---------|---------|---------|---------|---------|
| | | Aire résiduelle | 1 | 2 | 3 | 4 | 5 | 6 |
| | Qik (kN) | | 300 | 200 | 100 | | | |
| Tandem TS | α Q i | | 0,9 | 0,8 | 0,8 | | | |
| | Total (kN) | | 270 | 160 | 80 | | | |

| | qik (kN/m²) | 2,5 | 9 | 2,5 | 2,5 | 2,5 | 2,5 | 2,5 |
|-------------|---------------|-----|-----|-----|-----|-----|-----|-----|
| Système UDL | α qi | 1 | 0,7 | 1 | 1 | 1 | 1 | 1 |
| | Total (kN/m²) | 2,5 | 6,3 | 2,5 | 2,5 | 2,5 | 2,5 | 2,5 |

Total TS (par ligne d'essieu) : 510 kN
Total UDL (/ml long. d'ouvrage) : 56,65 kN/ml

Modèle de charge 2 (LM2)

Essieu unique Qak : 400 kN

Coefficient βQ : 0,80

Total essieu: 320 kN

Modèle de charge 3 (LM3) (véhicules spéciaux)

Convois exceptionnels : convois de type C

Convois militaires : Mc120

Me120

Autres: Caterpillar 769C

Modèle de charge 4 (LM4) (chargement de foule)

Charge uniformément répartie de 5 kN/m² :

modèle non retenu

Modèles de charges complémentaires

RAS

Charges de trottoirs

Valeur caractéristique qfk : 5,0 kN/m² qtrot1= 0,0 kN/ml long. d'ouvrage Valeur si associée à gr1a : 3,0 kN/m² qtrot2= 0,0 kN/ml long. d'ouvrage

Forces horizontales

Forces de freinage et d'accélération (longitudinale)

Longueur du tablier L : 422,00 r

Véh. militaires sur tablier : oui Qlk≤ 900 kN

Valeur caractéristique Qlk : 900 kN

Forces centrifuges

Rayon de courbure de l'axe chaussée, r : 10000 m (si axe en plan rectiligne saisir « 10000 »)

Poids total des tandems : Qv = 1020 kN
Force centrifuge : Qtk = 0 kN
Force de freinage transversale : Qtrk= 225 kN

2.4.2 Répartition transversale des surcharges

| Chargement | Largeur | q | Poids | Dist. % poutre 1 | Poutre 1 | Poutre 2 | | |
|--------------------|---------|---------|-------|------------------|----------|----------|--------|-------|
| | (m) | (kN/m²) | | (m) | | | | |
| UDL voie 1 | 3,00 | 6,3 | 18,90 | 2,40 | 23,30 | -4,40 | | |
| UDL voie 2 | 3,00 | 2,5 | 7,50 | -0,6 | 7,06 | 0,44 | | |
| UDL voie 3 | 3,00 | 2,5 | 7,50 | -3,600 | 4,88 | 2,62 | | |
| UDL voie 4 | 3,00 | 2,5 | 7,50 | -6,600 | 2,69 | 4,81 | | |
| UDL voie 5 | 2,20 | 2,5 | 5,50 | -9,200 | 0,59 | 4,91 | | |
| UDL voie 6 | 0,00 | 2,5 | 0,00 | | 0,00 | 0,00 | | |
| Aire résiduelle | 0,00 | 2,5 | 0,00 | | 0,00 | 0,00 | | |
| TOTAL UDL | | | 46,9 | | 38,53 | 8,37 | kN/ml | |
| TS voie 1 | | | 270 | 2,4 | 332,91 | -62,91 | | |
| TS voie 2 | | | 160 | -0,6 | 150,68 | 9,32 | | |
| TS voie 3 | | | 80 | -3,6 | 52,04 | 27,96 | | |
| TOTAL TS | | | 510 | | 535,63 | -25,63 | kN | |
| LM2 | | | 320 | 2,6 | 400,78 | -80,78 | kN | |
| Mc120 – chenille 1 | | | 0,5 | 2,9 | 0,641 | -0,141 | | |
| Mc120 – chenille 2 | | | 0,5 | -0,4 | 0,481 | 0,019 | | |
| TOTAL Mc120 | | | 1 | | 1,121 | -0,121 | pond : | 1,121 |
| Me120 – essieu 1 | | | 1 | 1,4 | 1,136 | -0,136 | | |
| Convoi C2 | | | 1 | 1,8 | 1,175 | -0,175 | pond : | 1,175 |
| 769C aller | | | 1 | 0,025 | 1,002 | -0,002 | | |
| 769C retour | | | 1 | -9,325 | 0,095 | 0,905 | | |
| Total 769C | | | | | 1,097 | 0,903 | | |

2.4.3 Charges de fatigue

Le modèle de charge de fatigue FLM3 est retenu pour les justifications. Il est considéré centré sur la voie lente.

Pour les justifications de la charpente on retient le concept de durée de vie sûre soit les coefficients partiels de sécurité suivants :

 $\gamma_{\rm MF}$ = 1,35 (pour les éléments non redondants)

 $\gamma_{\rm MF}$ = 1,15 (pour les éléments redondants)

 $\gamma_{MF,s}$ = 1,25 (pour les goujons)

 $\gamma_{s,fat}$ = 1,15 (pour les armatures)

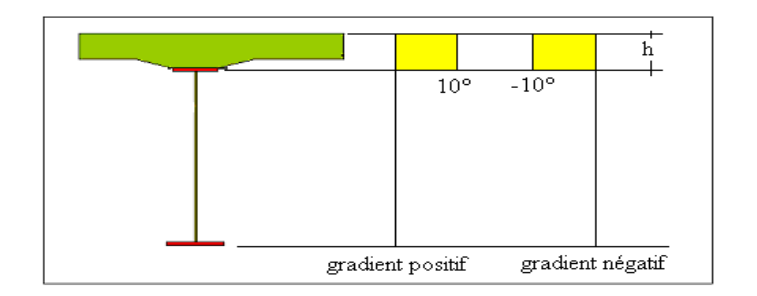
2.4.4 Actions thermiques

Variations uniformes de température

Conformément à la NF EN 1991-1-5, on retient :+34°C et -30°C (département de la Haute-Loire).

Gradient thermique

Conformément au choix de l'annexe nationale de l'EN 1991-1-5 on retient le gradient non linéaire simplifié, soit une différence de température de +10° ou -10° dans la dalle par rapport à la charpente.



3 Combinaisons d'actions

On retient les notations suivantes :

- $G_{k,sup}$ (resp. $G_{k,inf}$): effet défavorable (resp. favorable) du poids propre et des superstructures, considérés avec leur valeur caractéristique supérieure (resp. inférieure)
- T_k: effet de la température (val. Caractéristique)
- S: effet du retrait

3.1 Combinaisons ELU (autre que fatigue)

Combinaisons fondamentales (principales):

3.2 Combinaisons ELS

Combinaisons caractéristiques (principales) :

Combinaison fréquente :

Combinaison quasi-permanente:

$$Gk, sup + Gk, inf + (1,00 ou 0,00) S + 0,5.Tk$$

4 Analyse globale

4.1 Principe de calcul

Les sollicitations et contraintes sont déterminées à l'aide du logiciel à barres ST1 du SETRA. Une seule poutre métallique en I, associée à un demi-hourdis béton est modélisée. Il s'agit d'une modélisation 2D (option « plane » du logiciel).

Des procédures spécifiques permettent de déterminer les sollicitations en tenant compte de la redistribution éventuelle des efforts due à la fissuration de la dalle (Analyse Fissurée selon les Eurocodes).

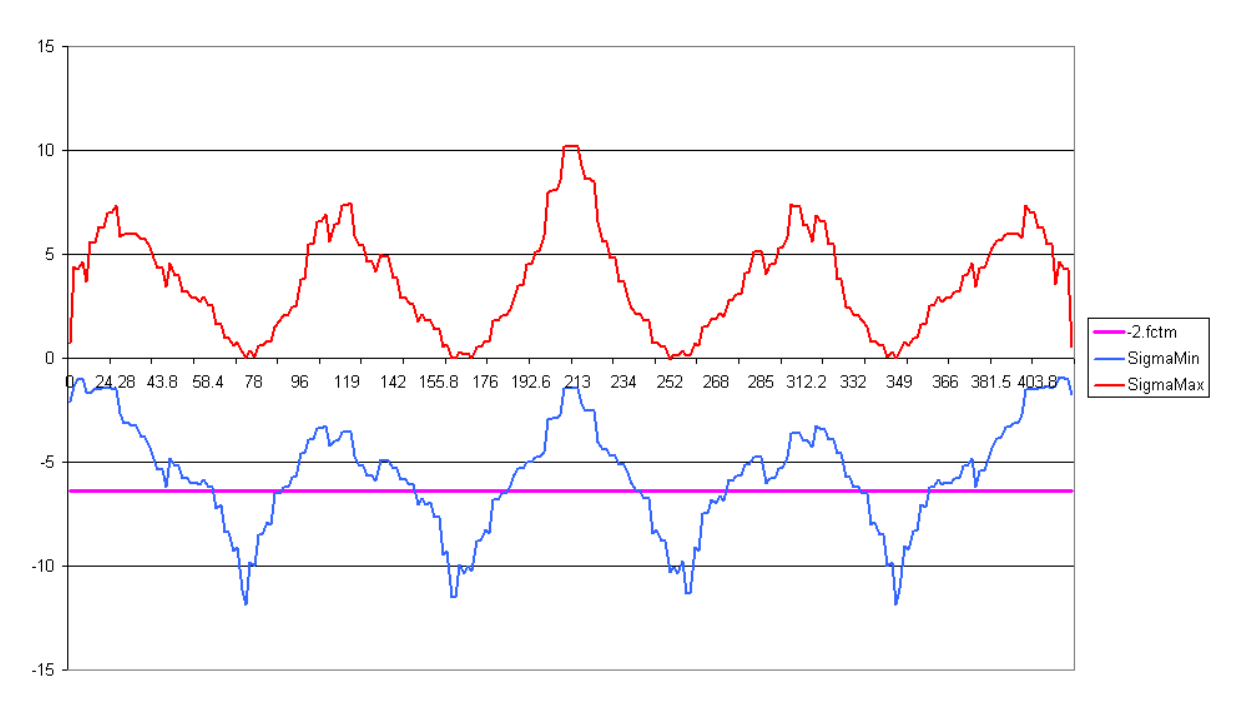
Le calcul se fait en 2 étapes :

- 1- Détermination des efforts avec une Analyse Non Fissurée (ANF). Le calcul des contraintes sur la fibre extrême du hourdis (à l'ELS caractéristique) permet de connaître les longueurs des zones fissurées (σ_b<-2fctm)
- 2- Détermination des efforts avec une analyse fissurée (AF) : les calculs sont menés en négligeant le béton dans les zones fissurées.

4.2 Analyse Non fissurée (ANF)

Le graphique suivant montre les contraintes extrêmes sur la fibre supérieure du hourdis à l'ELS caractéristique à l'issue de l'Analyse Non Fissurée. On voit également le seuil de fissuration qui est égal à -2f_{ctm} soit 6,40 MPa pour un béton C35/45.

Longueurs fissurées



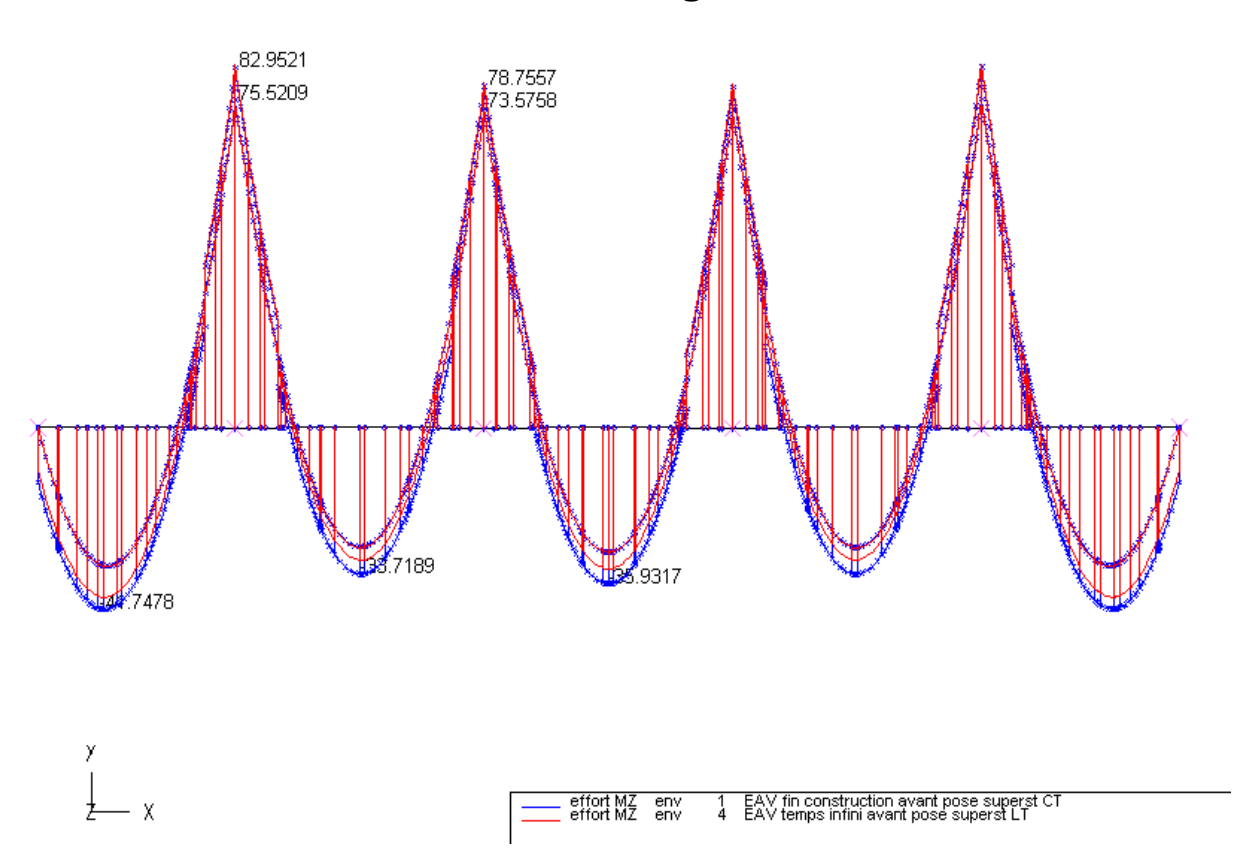
Les longueurs des zones fissurées sont les suivantes :

- 27 m (11 + 16) pour les piles P1 et P4;
- 30 m (12 + 18) pour les piles P2 et P3

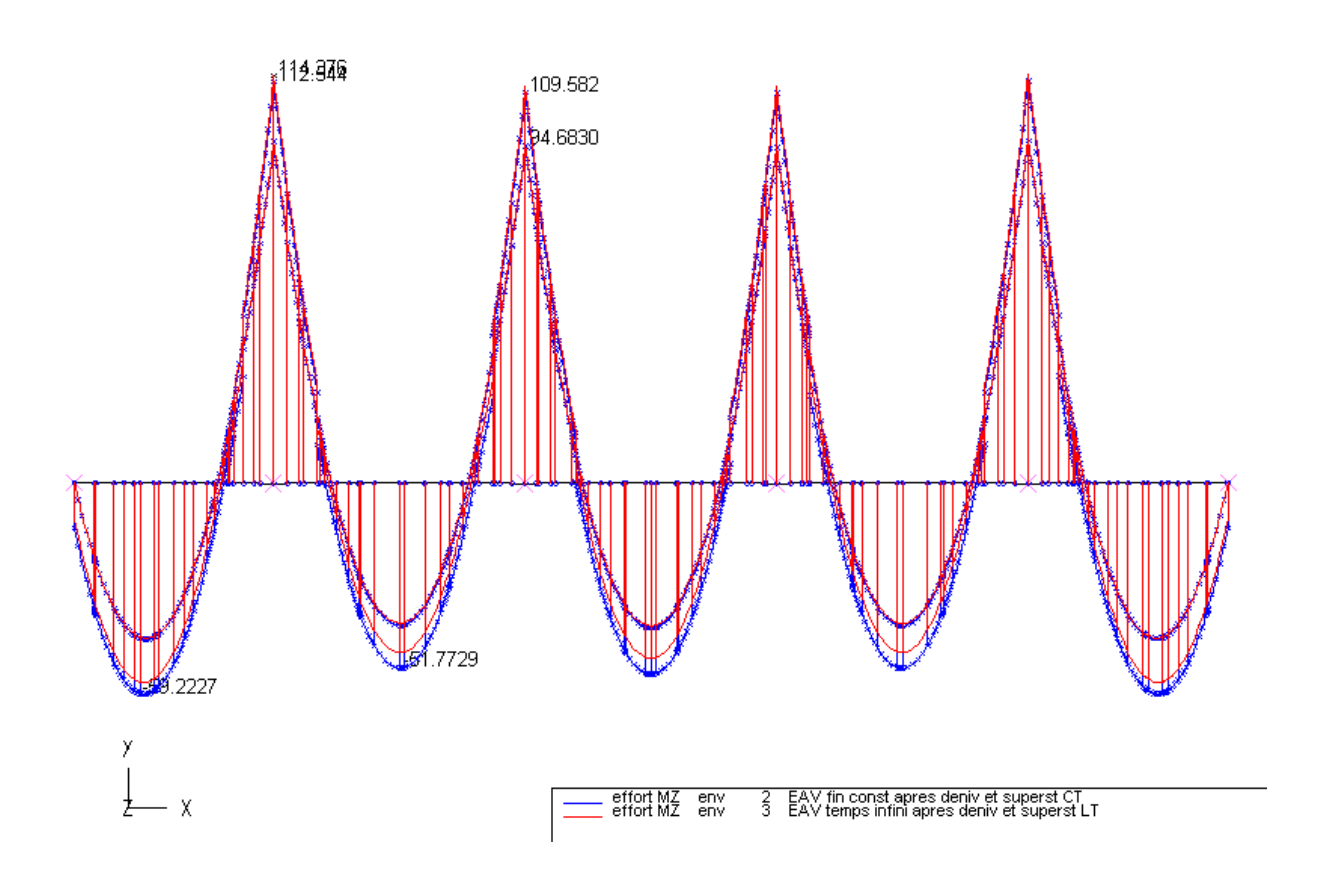
4.3 Analyse fissurée (AF) – principaux résultats

Les principaux résultats émanant de l'analyse globale fissuée sont détaillés ci-après.

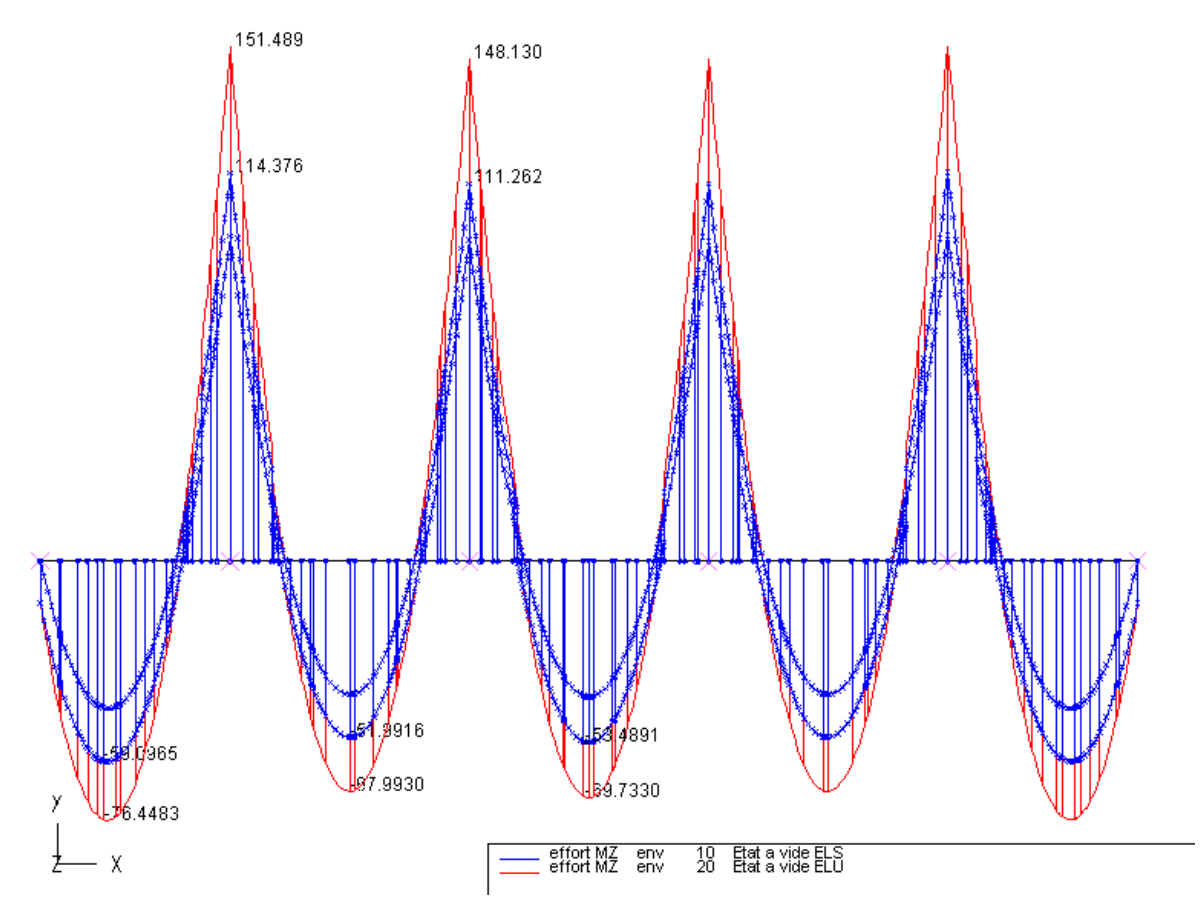
4.3.1 État à vide en fin de bétonnage



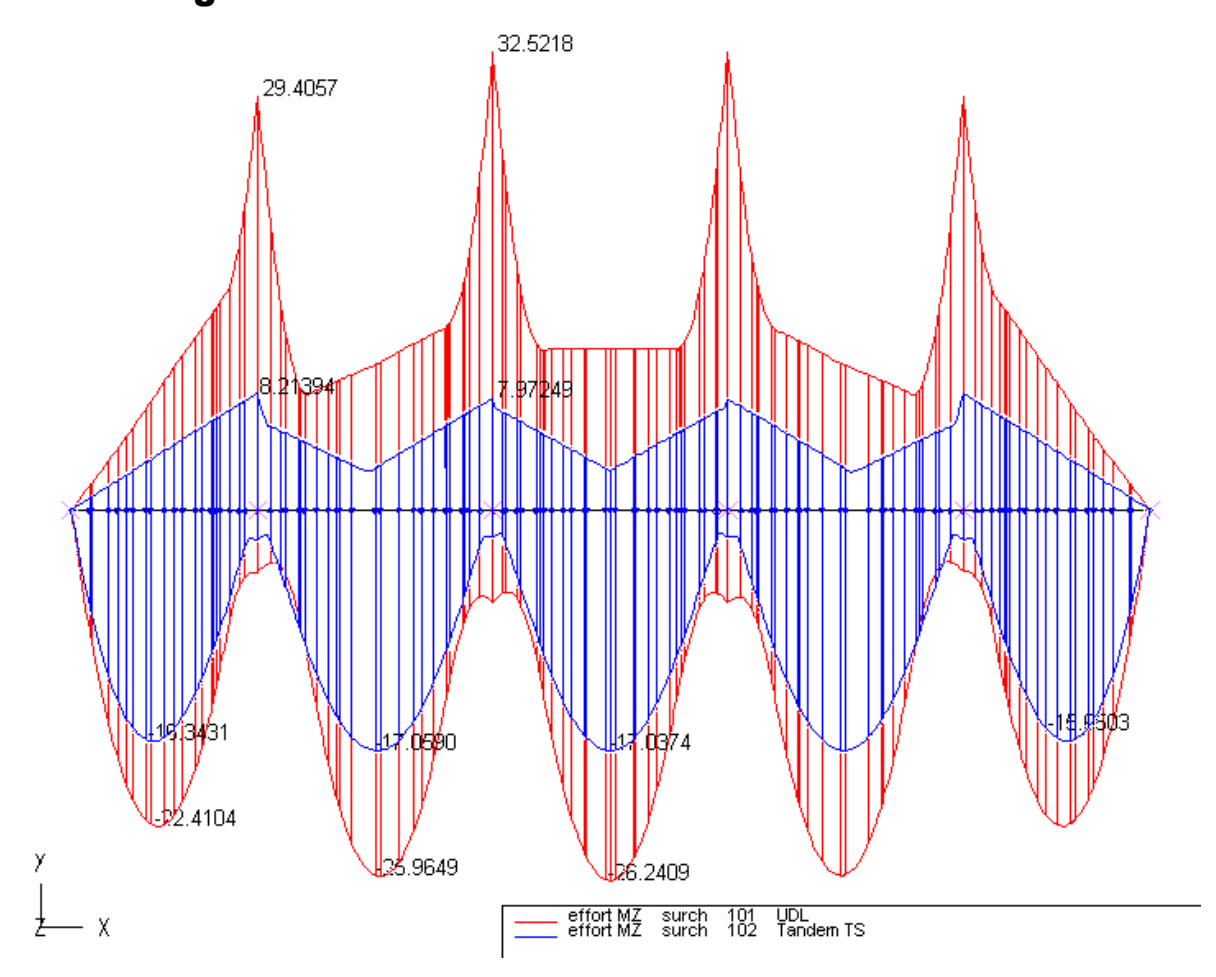
4.3.2 État à vide après pose des superstructures



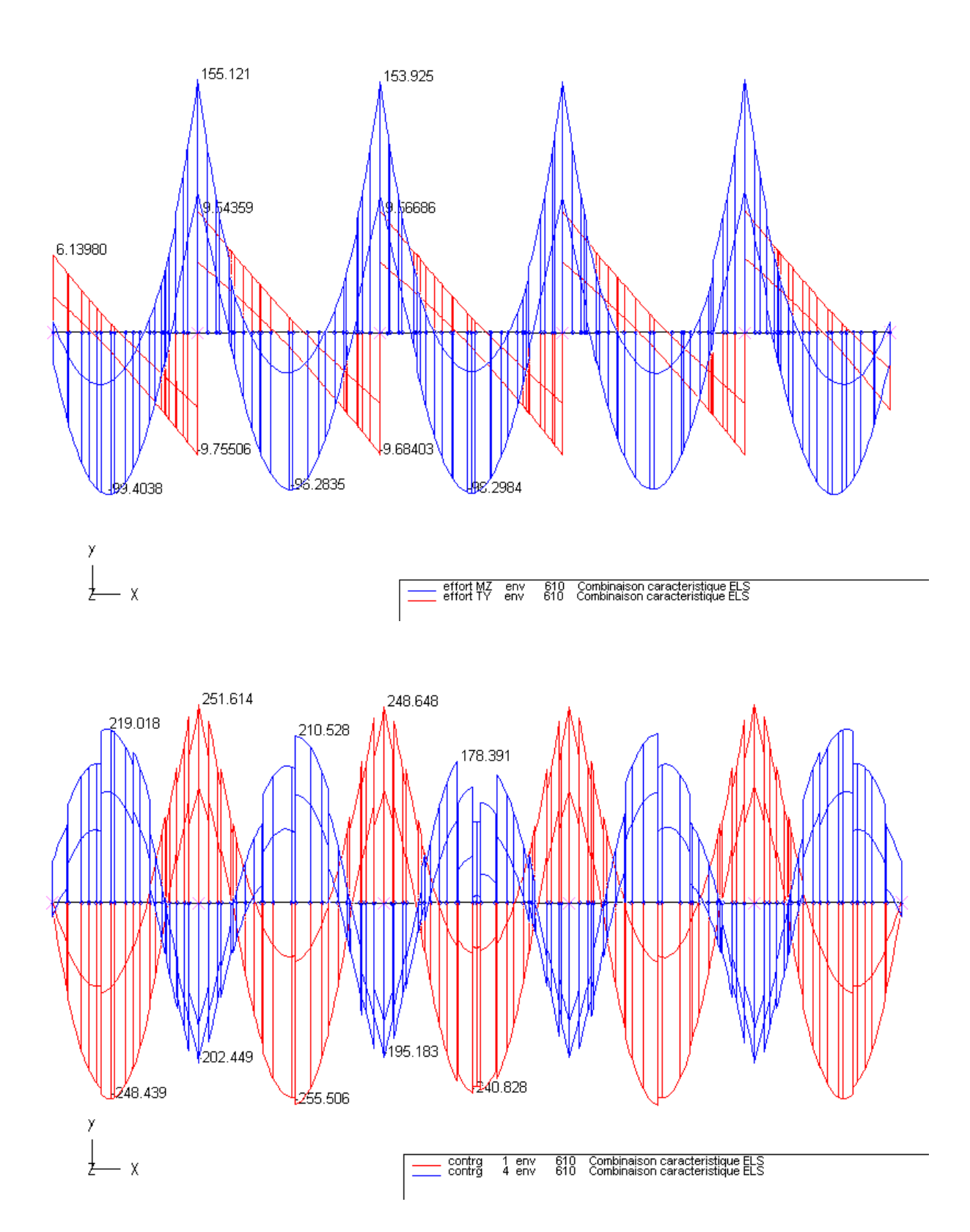
4.3.3 État à vide

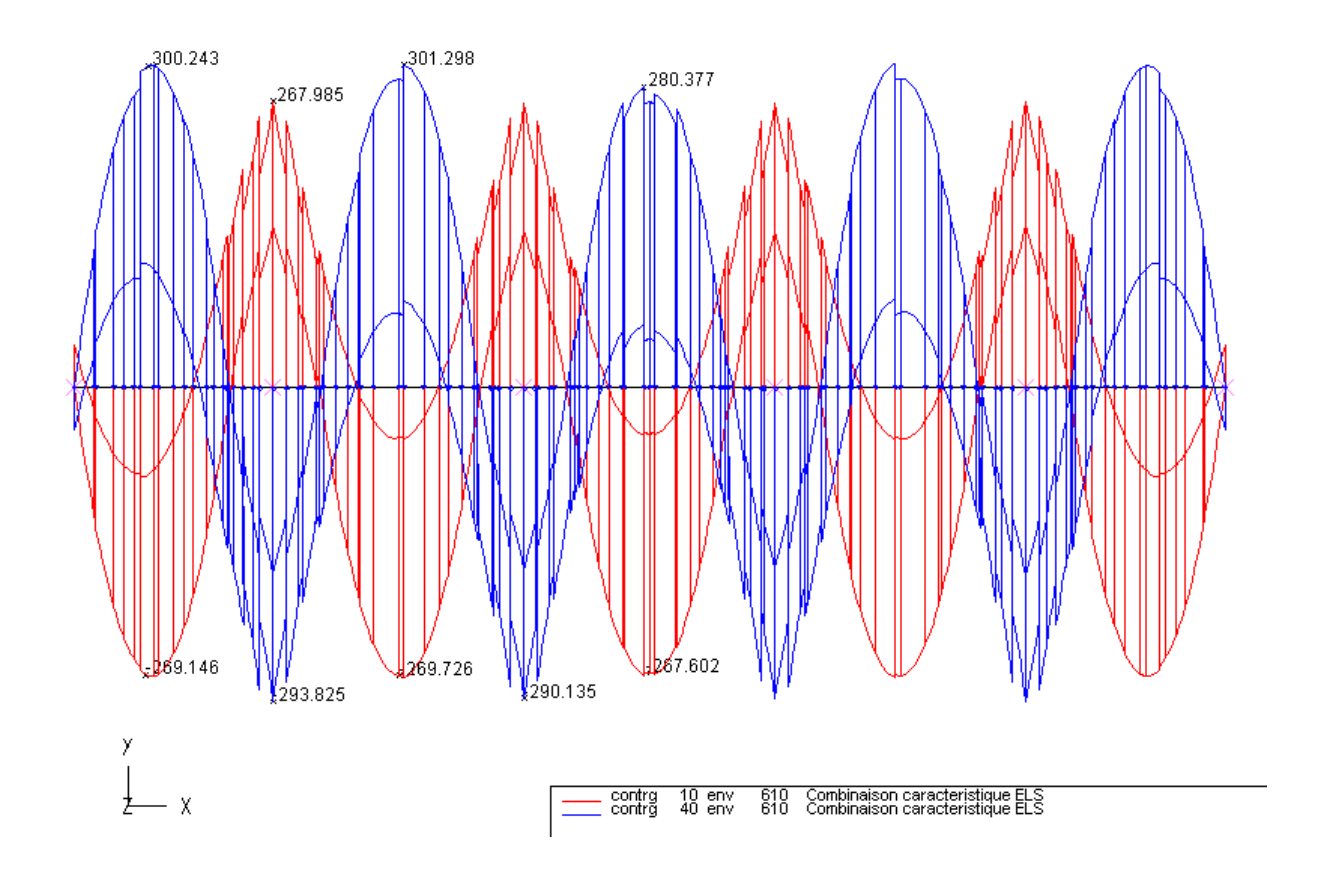


4.3.4 Charges de trafic

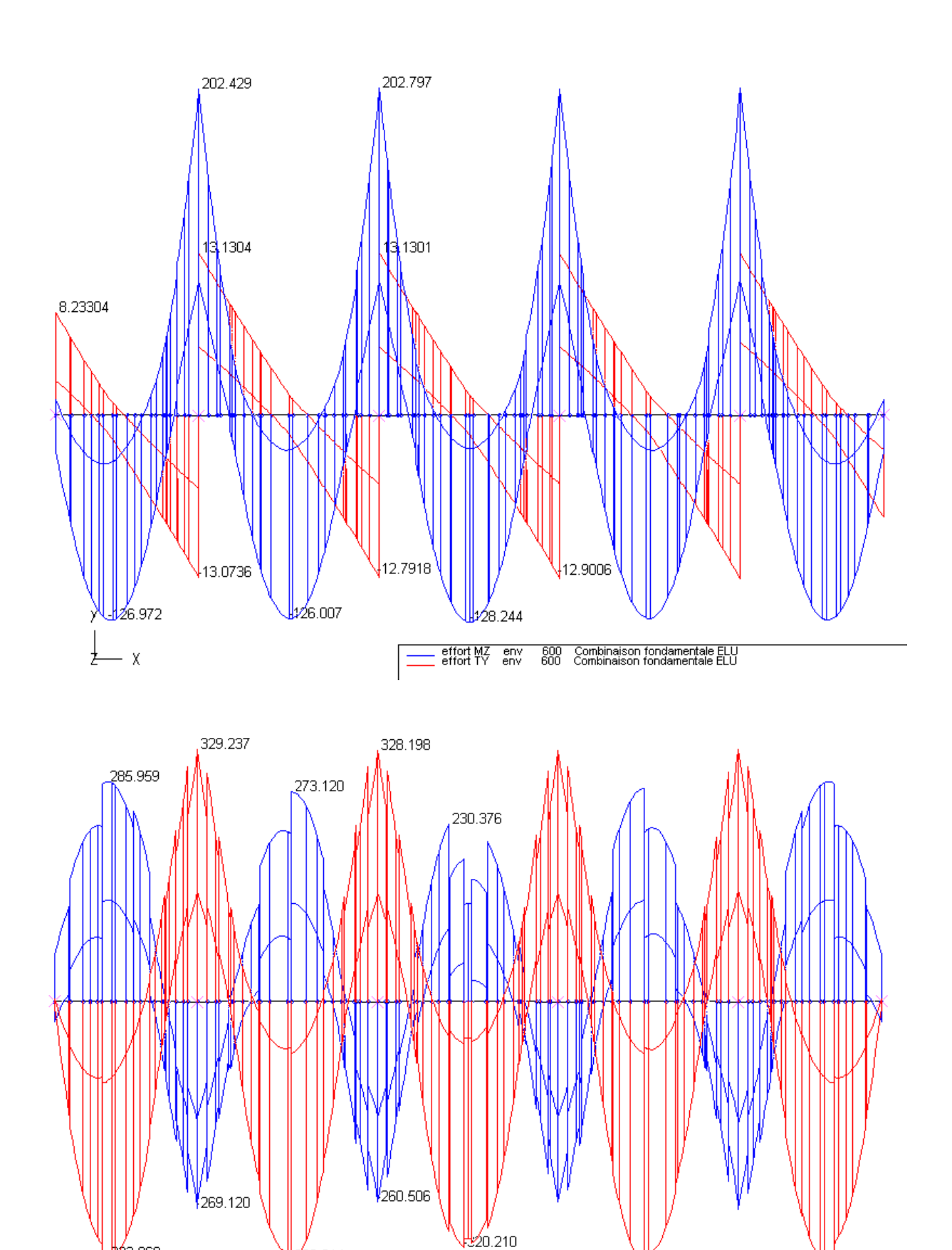


4.3.5 Combinaison caractéristique ELS





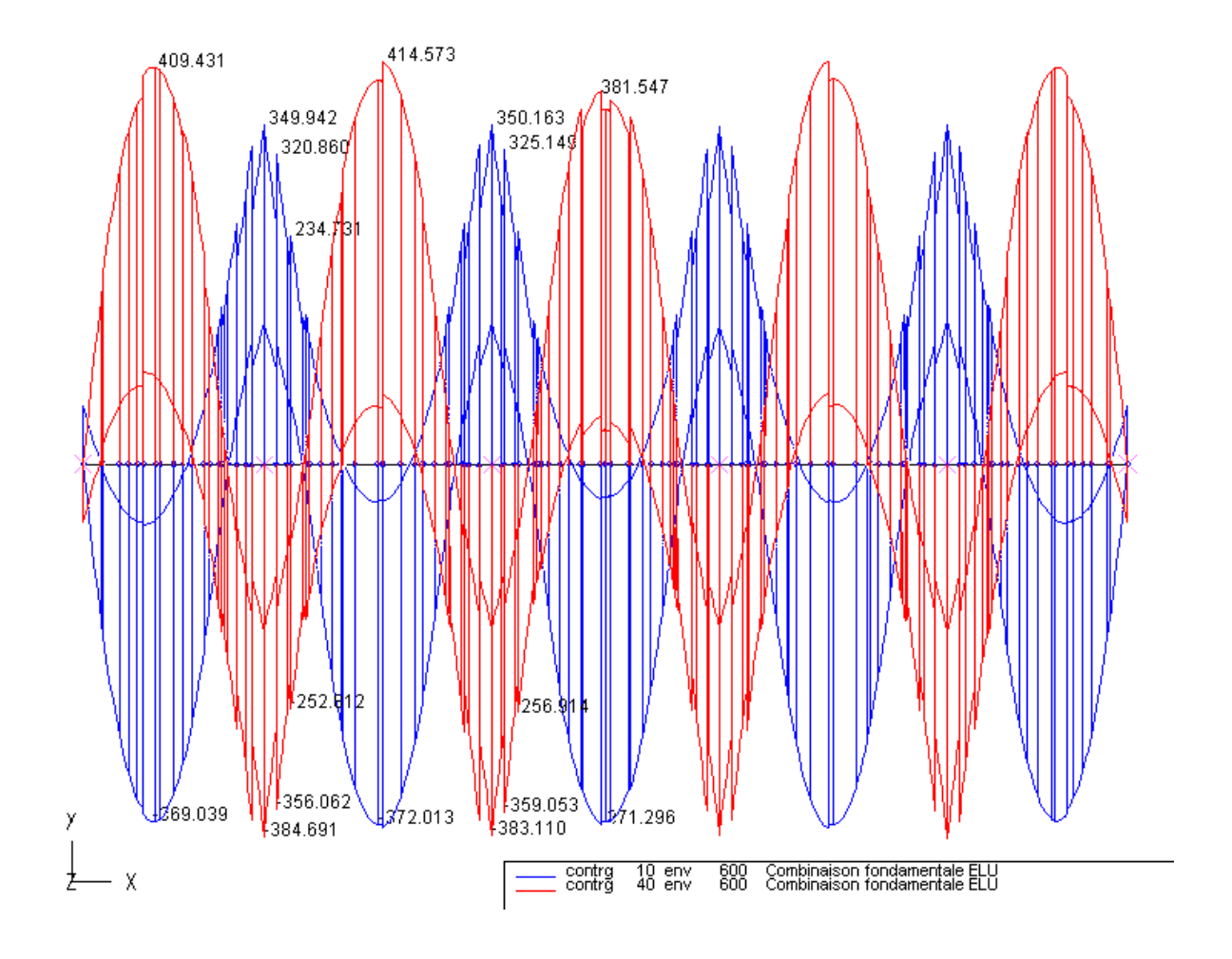
4.3.6 Combinaison fondamentale ELU



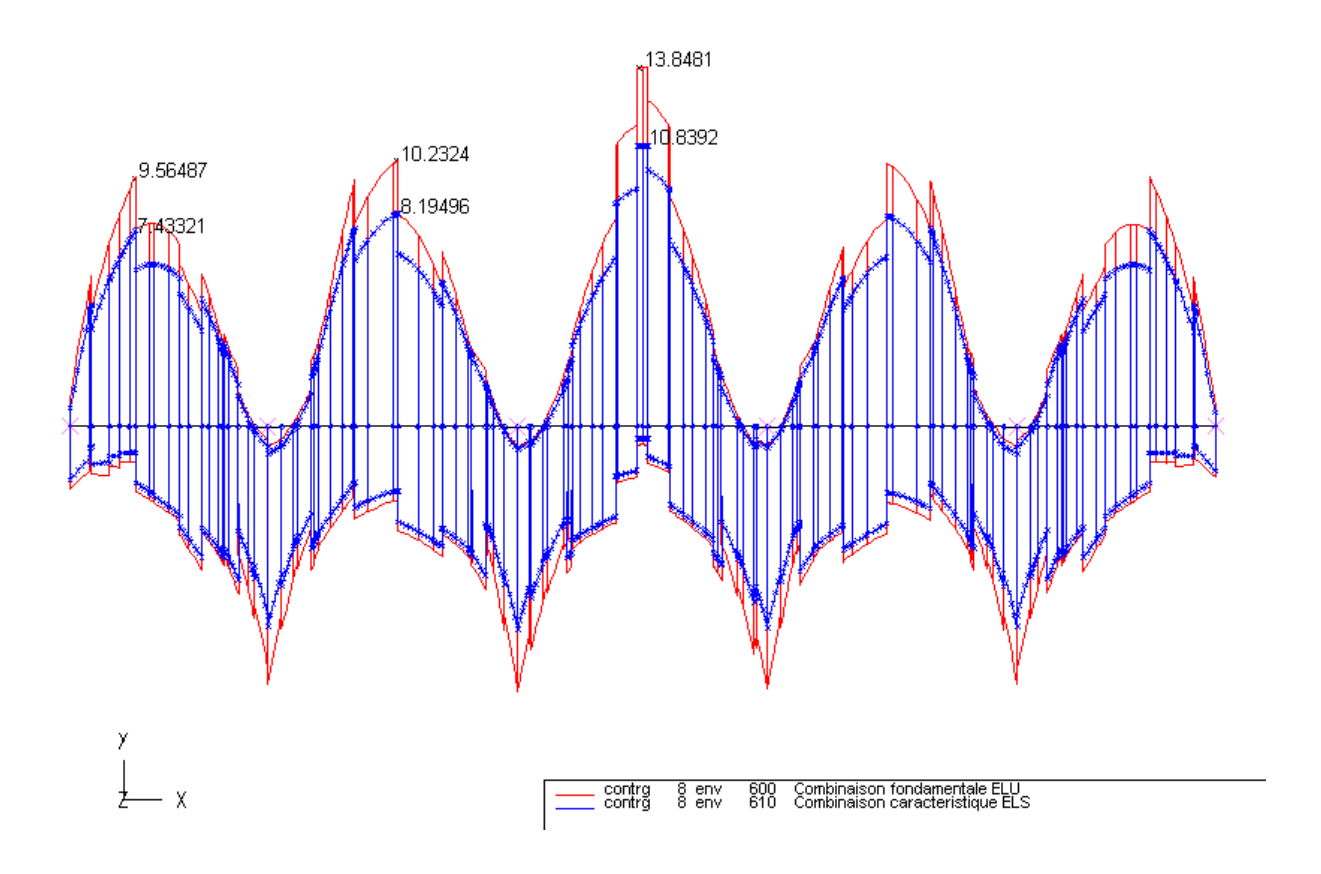
1 env 4 env 600 Combinaison fondamentale ELU 600 Combinaison fondamentale ELU

J\$3.869

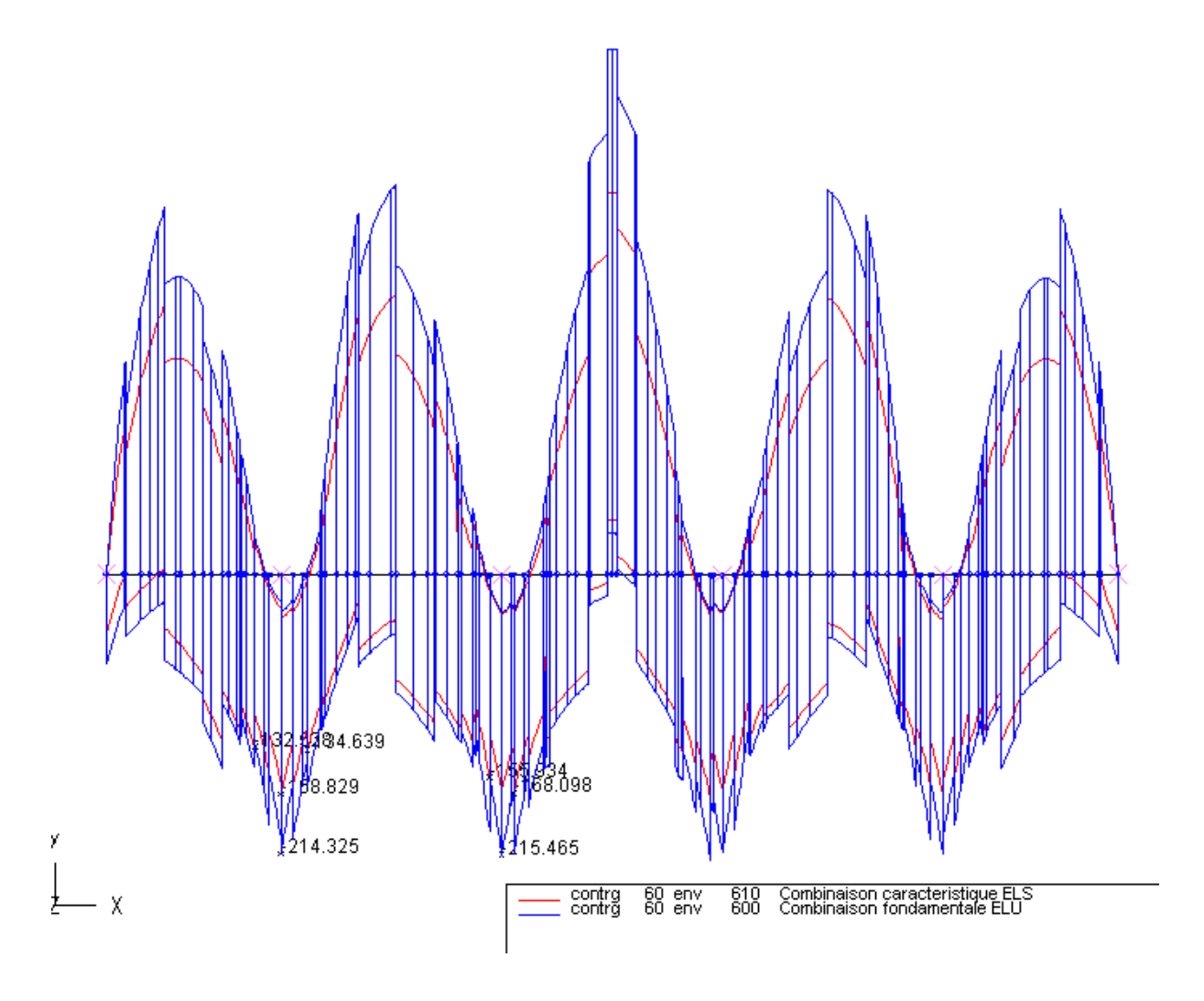
338.814



4.3.7 Contraintes normales en face supérieure de la dalle



4.3.8 Contraintes normales en nappe supérieure d'armatures



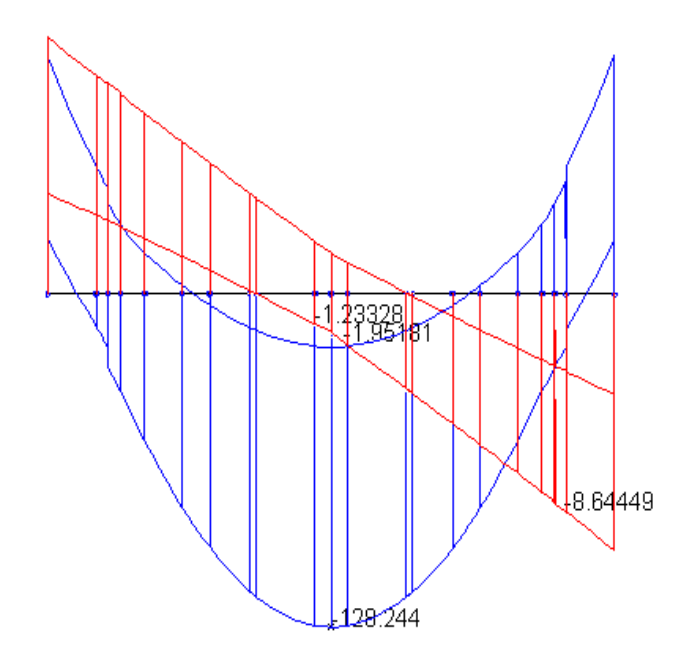
5 Justifications des sections aux ELU

5.1 Sections en travée

La justification est réalisée dans la travée 3. Les sollicitations les plus importantes sont les suivantes :

- Med= 128,2 MN.m (x=211 m : milieu de l'ouvrage)
- Ved= 1,95 MN (x= 213 m : extrémité du panneau)

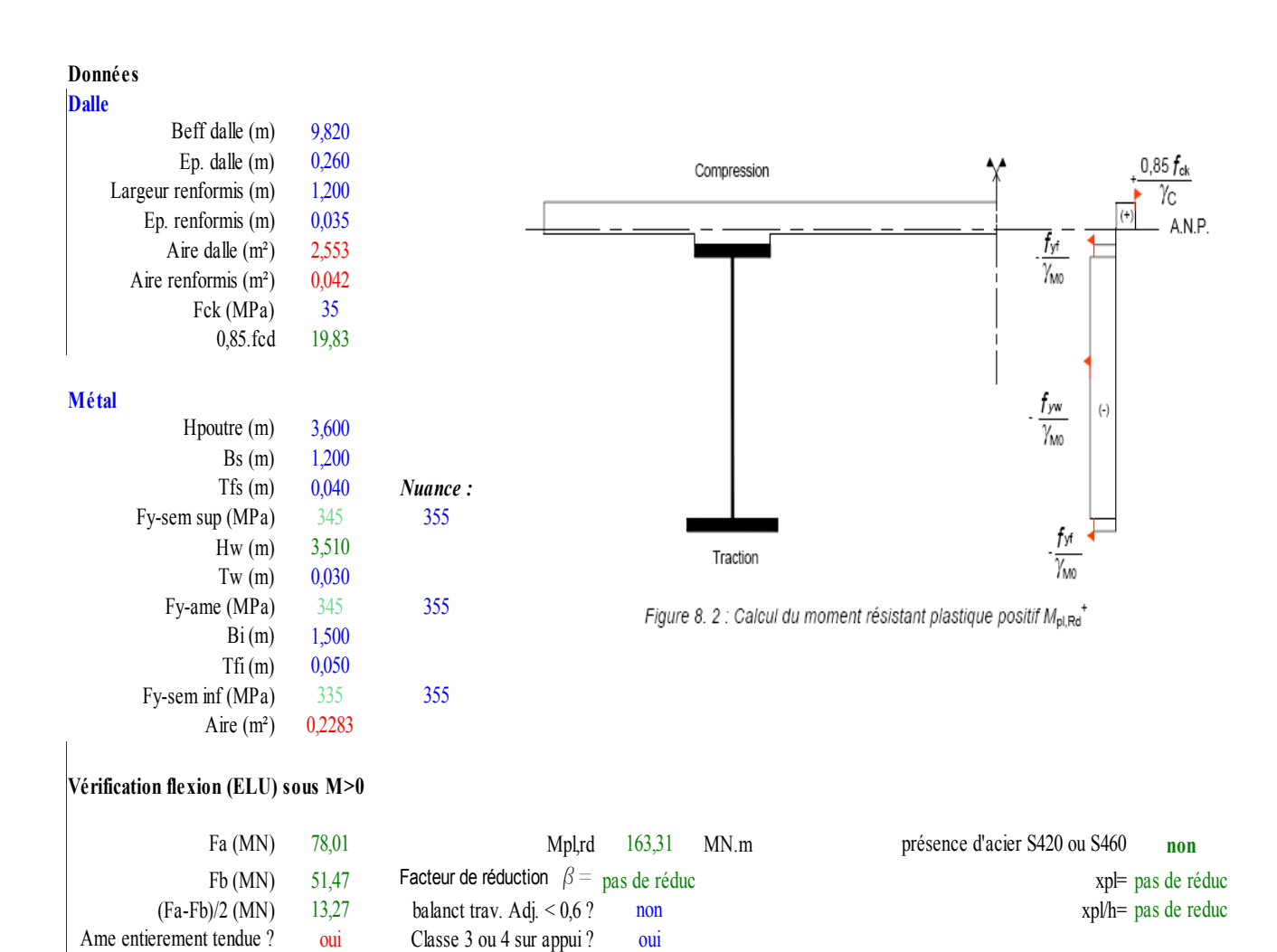
A noter que VedMax pour ce tronçon de poutre (pas de modification des épaisseurs de tôle) est de 8,64 MN.m (x=240 m).





Justification en flexion

La section en travée est de classe 1 et est justifiée par une analyse plastique.



Mrd=

163,31

MN.m

Justification sous effort tranchant

0,00

0,032

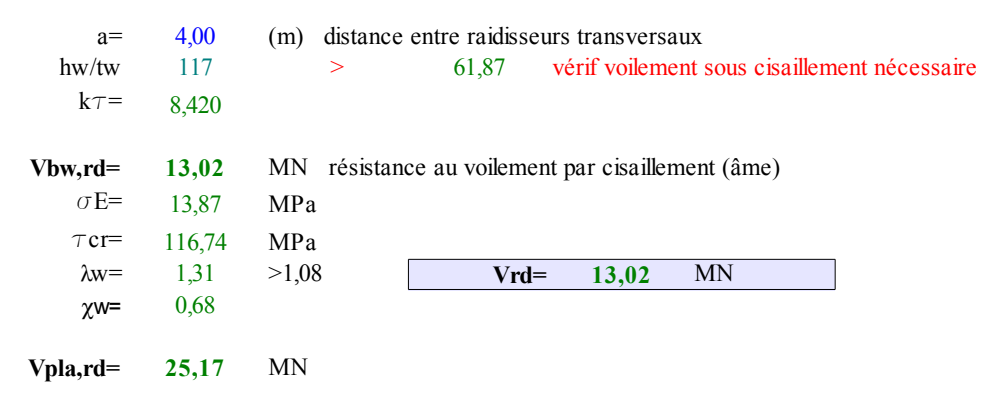
1

Vérification tranchant (ELU)

Alpha

ANP%interface (m)

CLASSE



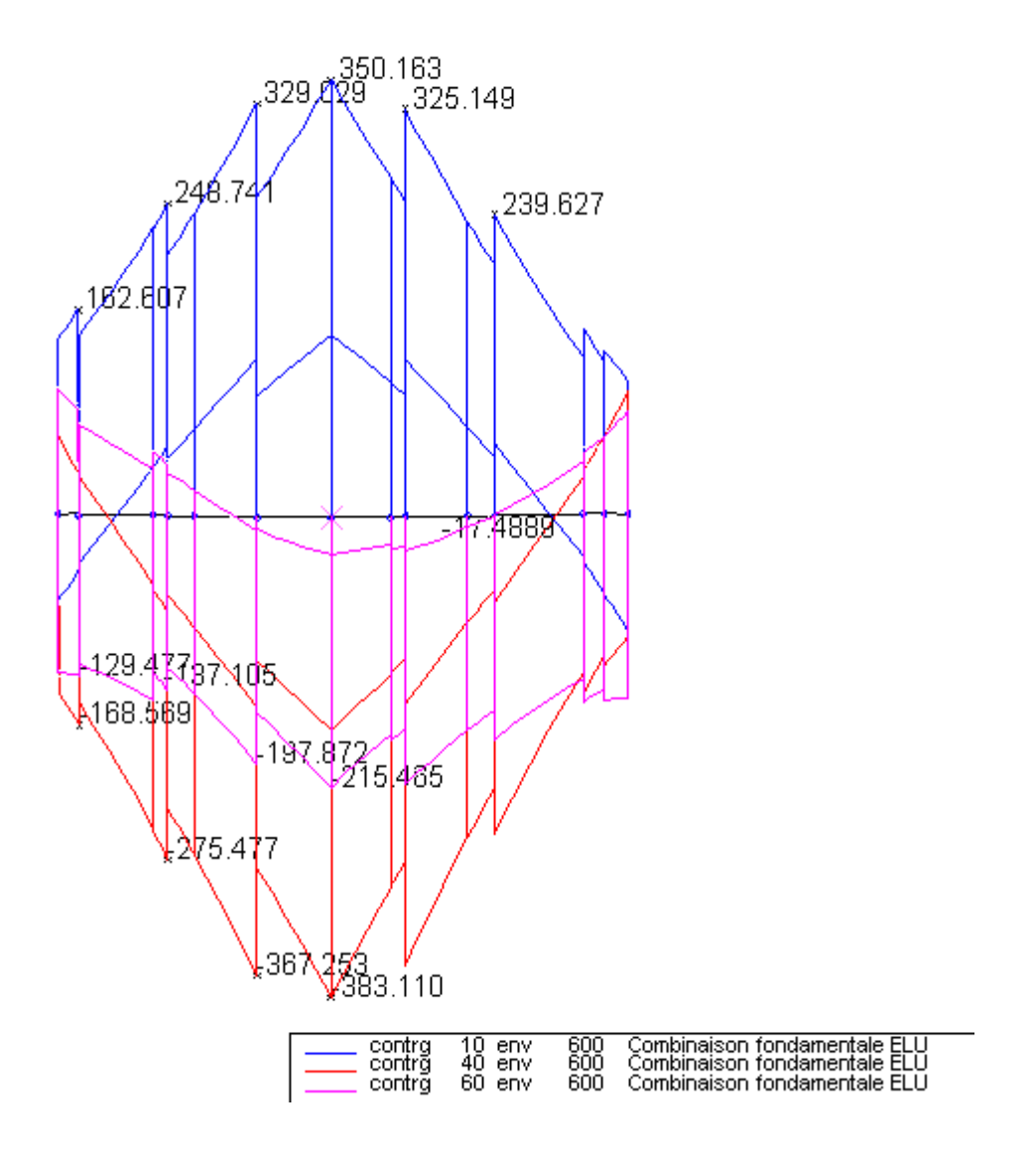
A noter qu'il n'y a pas d'interaction M-V sauf en extrémité de tronçon. Le moment plastique minimal est alors de 152,4 MN.m ($(1-\rho)$ = 0,83).

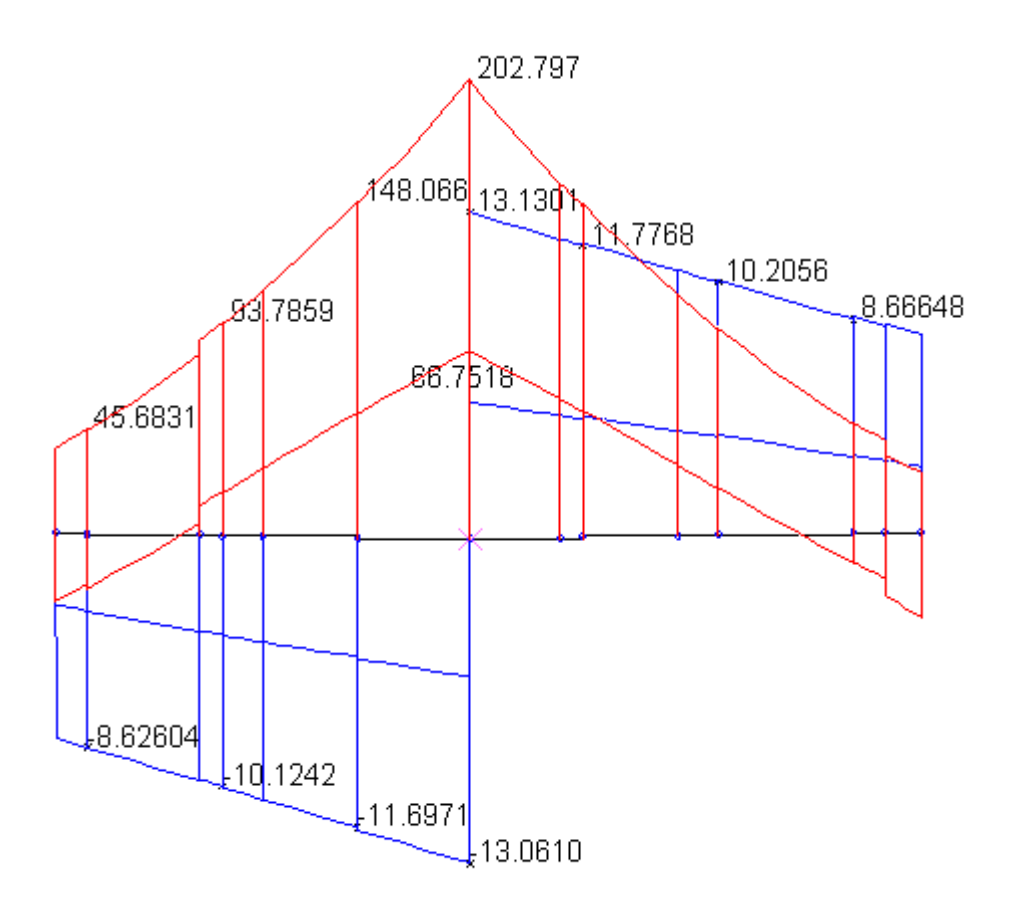
5.2 Sections sur appui

Justifications en flexion et sous effort tranchant

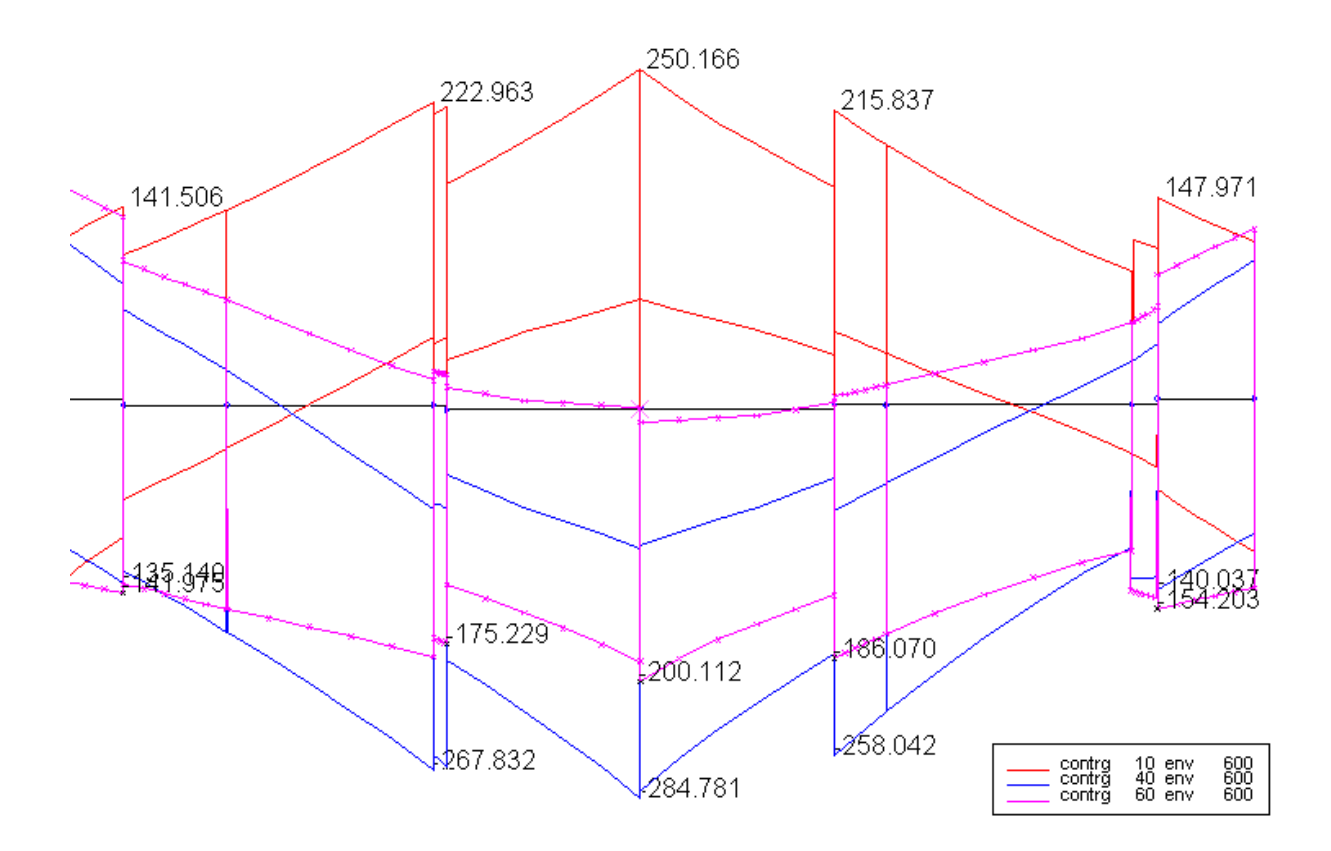
Les sections sur appui sont au minimum de classe 3 et sont justifiées par une analyse élastique.

La zone la plus sollicitée est celle située au droit de la pile P3. Les contraintes sur les fibres extrêmes de la poutre (10 et 40) et au niveau de la nappe supérieure des armatures (60) figurent sur le schéma suivant :





effort TY env 600 Combinaison fondamentale ELU effort MZ env 600 Combinaison fondamentale ELU



Vérifications

Sous moment fléchissant le critère à vérifier est : $\eta_1 = \frac{\sigma_{x,Ed}}{\frac{f_y}{\gamma_{Mo}}} \le 1$, calculé à mi-épaisseur de chaque

membrure,

où:

- σ_{x,Ed} est la contrainte à mi-épaisseur de membrure (avec caractéristiques efficaces en classe 4) ;
- f_v est la limite d'élasticité de la membrure;
- $\gamma_{M,o} = 1$.

L'effort tranchant V_{Ed} doit être inférieur à l'effort tranchant plastique $V_{pl,Rdd}$ et à la résistance au voilement sous cisaillement $V_{b,Rd}$.

$$V_{pl,Rd} = V_{pl,a,Rd} = \frac{b_{w} \cdot t_{w} \cdot f_{yw}}{\gamma_{M0} \cdot \sqrt{3}}$$

$$V_{b,Rd} = V_{bw,Rd} + V_{bf,Rd} \le \frac{\eta h_w \cdot t_w \cdot f_{yw}}{\gamma_{MJ} \cdot \sqrt{3}}$$
 critère $\eta_3 = V_{Ed} / V_{b,Rd} < 1,00$

Si η_3 = $V_{Ed}/V_{b,Rd}$ est supérieur à 0,5 il est nécessaire de prendre en compte l'interaction entre le moment fléchissant et l'effort tranchant en vérifiant le critère suivant :

$$\overline{\eta}_{1} + \left[1 - \frac{M_{f,Rd}}{M_{pl,Rd}}\right] (2\overline{\eta}_{3} - 1)^{2} \le 1,00$$

Sollicitations ST1:

| Ε | X=148 | X=154 | X=160 | X=165 |
|---|---------|--------------|---------------------------|--------------|
| Résultas ST1 : | | | | |
| | 45.70 | 02.00 | 440.07 | 202.00 |
| M _{ELU total (ST1 env 601)} | -45,70 | -93,80 | -148,07 | -202,80 |
| cont.armatures sup (60): σ (ST1) | -129,50 | -137,10 | -197,90 | -215,50 |
| contrainte FS (40): σ s (ST1) | -168,60 | -275,50 | -367,30 | -383,10 |
| contrainte FI (10): σi (ST1) | 162,60 | 248,70 | 329,10 | 350,20 |
| $ m M_{ELU~m\acute{e}tal}$ | -13,28 | -45,53 | -68,10 | -92,08 |
| $ m M_{ELUmixte}$ | -38,08 | -48,23 | -80,29 | -111,05 |
| $ m M_{ELUtotal}$ | -51,35 | -93,76 | -148,39 | -203,13 |
| $ m V_{_{ELUSTI}}$ | 8,63 | 10,12 | 11,70 | 13,06 |
| Caractéristiques de section | | | | |
| Poutre acier | | | | |
| hauteur poutre | 3,600 | 3,600 | 3,600 | 3,600 |
| esp. raid. transv. | 4,000 | 4,000 | 4,000 | 4,000 |
| bs | 1,200 | 1,200 | 1,200 | 1,200 |
| hs | 0,040 | 0,050 | 0,065 | 0,095 |
| fy-sem sup | 345 | 335 | 410 | 400 |
| tw | 0,030 | 0,035 | 0,035 | 0,040 |
| hw | 3,510 | 3,490 | 3,460 | 3,405 |
| | 3,510 | 3,490 345 | 3, 4 00 440 | 3,403 440 |
| fy-ame | | | | |
| bi | 1,500 | 1,500 | 1,500 | 1,500 |
| hi | 0,050 | 0,060 | 0,075 | 0,100 |
| fy-sem inf | 335 | 335 | 410 | 400 |
| Aire | 0,2283 | 0,2722 | 0,3116 | 0,4002 |
| Inertie I1 | 0,4868 | 0,5850 | 0,7026 | 0,9316 |
| Vs1 | 2,007 | 1,992 | 1,992 | 1,956 |
| Vil | 1,593 | 1,608 | 1,608 | 1,644 |
| Armatures | | | | |
| Aire dalle (avec beff) | 2,60 | 2,60 | 2,60 | 2,60 |
| Aire nappe sup | 0,0130 | 0,0169 | 0,0169 | 0,0169 |
| Aire nappe $\inf(0.5\%)$ | 0,0130 | 0,0130 | 0,0130 | 0,0130 |
| nappe sup/FS poutre | 0,245 | 0,245 | 0,245 | 0,245 |
| nappe inf/FS poutre | 0,085 | 0,085 | 0,085 | 0,085 |
| Poutre + armatures | 0,005 | 0,005 | 0,005 | 0,002 |
| Aire | 0,2543 | 0,3020 | 0,3414 | 0,4300 |
| Inertie I2 | 0,5968 | 0,7115 | 0,8307 | 1,0579 |
| Vs2 | 1,785 | 1,778 | 1,803 | 1,808 |
| Vi2 | 1,785 | 1,778 | 1,797 | 1,792 |
| Vaciers sup | 2,030 | 2,023 | 2,048 | 2,053 |
| v acieis sup | 2,030 | 2,023 | 4,040 | 2,055 |

Classe de section

| Classe de section | 4 | 4 | 3 | 3 |
|-------------------|--------|--------|--------|--------|
| Classe | 4 | 4 | 3 | 2 |
| ε | 0,838 | 0,838 | 0,757 | 0,766 |
| Classe sem inf | | | | |
| classe de l'âme | 4 | 3 | 3 | 3 |
| élancement âme | 117,00 | 99,71 | 98,86 | 85,13 |
| Limite classe 3 | 109,18 | 114,57 | 102,20 | 99,93 |
| Ψ | -1,066 | -1,118 | -1,126 | -1,101 |
| ψsigma | -165 | -268 | -355 | -364 |
| sigma | 155 | 240 | 315 | 330 |
| Limite classe 2 | 74,50 | 76,50 | 62,02 | 71,04 |
| Limite classe 1 | 64,62 | 66,37 | 53,80 | 61,62 |
| 3 | 0,825 | 0,825 | 0,731 | 0,731 |
| α | 0,460 | 0,448 | 0,489 | 0,427 |
| bt | 1,896 | 1,928 | 1,768 | 1,951 |
| bc | 1,614 | 1,562 | 1,692 | 1,454 |
| F wc | 16,703 | 18,867 | 26,058 | 25,585 |
| F sem. Inf | 25,13 | 30,15 | 46,13 | 60 |
| F armat. | 5,642 | 5,642 | 12,976 | 5,642 |
| F poutre | 78,01 | 92,39 | 131,39 | 165,53 |
| Classe de l'âme | | | | |

Vérifications

| | X=148 | X=154 | X=160 | X=165 |
|----------------------------|--------|--------|--------|--------|
| _ | | | | - |
| contrainte FS : σ s | -171 | -276 | -367 | -383 |
| contrainte FI: oi | 182 | 254 | 331 | 351 |
| Critère η 1 | | | | |
| η1 FS | 0,497 | 0,825 | 0,895 | 0,958 |
| η1 FI | 0,543 | 0,758 | 0,808 | 0,877 |
| η1 max | 0,543 | 0,825 | 0,895 | 0,958 |
| Critère n3 | | | | |
| kτ | 8,420 | 8,385 | 8,333 | 8,239 |
| λw | 1,306 | 1,116 | 1,253 | 1,085 |
| χw | 0,683 | 0,755 | 0,702 | 0,767 |
| η3 | 0,663 | 0,606 | 0,596 | 0,541 |
| Interaction η1 - η3 | | | | |
| Mpl.Rd (section brute) | 116,85 | 136,52 | 209,39 | 245,95 |
| $\overline{\eta}_{_1}$ | 0,44 | 0,69 | 0,71 | 0,83 |
| Mf.Rd (sans armatures) | 59,62 | 72,36 | 115,13 | 164,16 |
| Interaction | 0,49 | 0,71 | 0,73 | 0,83 |

Tous les critères sont vérifiés.

Justifications des sections aux ELS

Vérification de la dalle 6.1

La contrainte maximale à l'ELS caractéristique est de 10,82 MPa (milieu de la travée 3). Cette contrainte est nettement inférieure à la limite réglementaire 0,6xfck=21 MPa.

Vérification de la poutre 6.2

Contraintes normales

Les contraintes des semelles supérieure et inférieure de la poutre sont les suivantes (sous combinaisons caractéristiques):

Zones en travée :

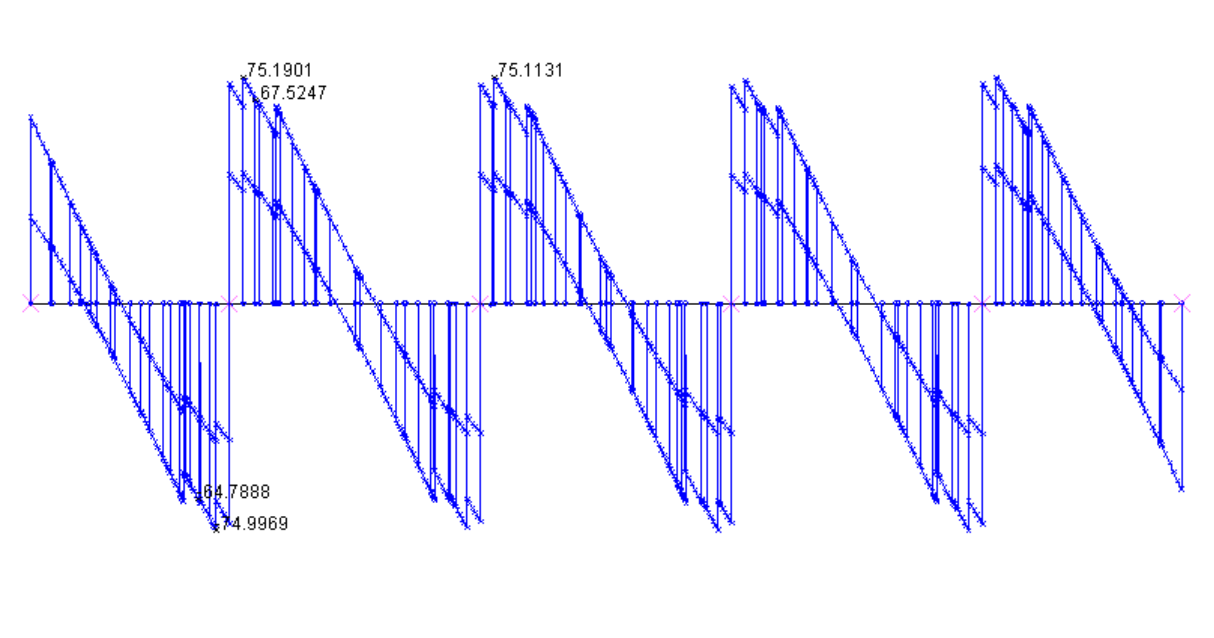
Semelle supérieure : 219 MPa < fy = 345 MPa (X=26 m)-256 MPa > -fy = -335 MPa (X=121 m)Semelle inférieure :

Zones d'appui:

Semelle supérieure : -294 MPa > -fy = -400 MPa (X=73 m)268 MPa < fy = 400 MPa (X=73 m)Semelle inférieure :

Contraintes de cisaillement

Elles figurent sur le diagramme suivant :





La contrainte maximale est de :

- 75,13 MPa (X=78 m) \leq fy / $\sqrt{3}$ = 254 MPa (fy=440 MPa)
- 67,52 MPa (X=84 m) \leq fy / $\sqrt{3}$ = 200 MPa

Critère de Von Mises

Le critère à vérifier est le suivant : $\sqrt{(\sigma)^2 + 3(\tau)^2} \le f_v$

Ce critère est vérifié.

6.3 Maîtrise de la fissuration

L'ouverture des fissures est limitée à 0,3 mm. À l'ELS fréquent.

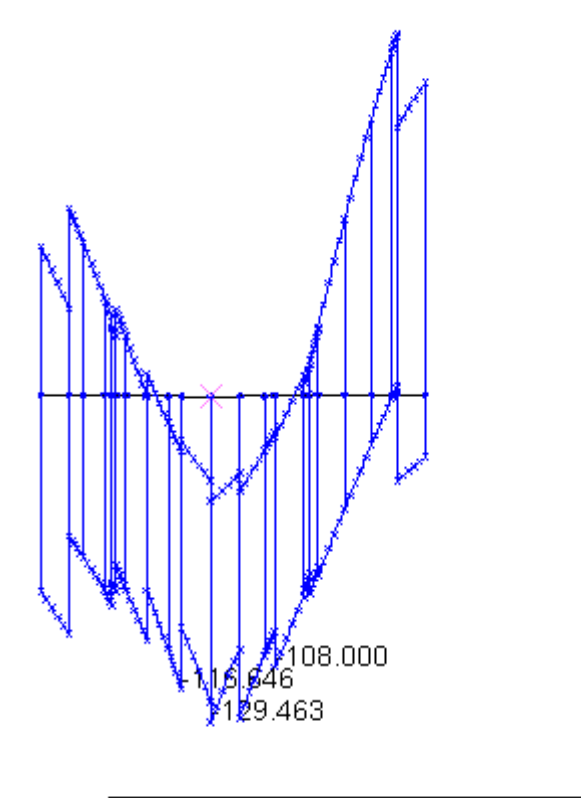
Le ferraillage longitudinal prévu respecte la section minimale règlementaire :

En partie courante des travées on dispose 64 HA 16 (s=153 mm) par nappe et par poutre (1,00%)

En zones d'appuis intermédiaire : on considère un taux de 1,15% soit 64 aciers (HA16 et HA20 alternés) par nappe et par poutre. Ce taux de ferraillage est appliqué sur 20% de la portée de part et d'autre des appuis intermédiaires.

Dans les zones de moment négatif on doit vérifier que les contraintes de traction dans les armatures, à l'ELS fréquent, sont compatibles avec une ouverture des fissures de 0,3 mm.

Le diagramme suivant montre les contraintes de traction dans la nappe supérieure à l'ELS fréquent dans la zone de la pile P1. La traction la plus forte est de 130 MPa (X=73 m).



____ contrg 60 env 620 Combinaison frequente ELS

Cette contrainte doit être majorée de $\Delta \sigma$ = [0,4.fctm/(ρ_s α_{st})] pour tenir compte de la surtension due à la rigidité du béton tendu entre fissures.

On trouve $\Delta \sigma$ = 86 MPa

Avec : $\alpha_{st} = (A.I/Aa.Ia) = 1,30$

 $\rho_s = 1,15\%$

La contrainte totale vaut : 130+ 86=216 MPa qui reste inférieure à la limite donnée par le tableau 7.1 de l'EN 1994-2 qui est d'environ 255 MPa pour des aciers de 16 mm de diamètre.

6.4 Connexion

Caractéristiques des goujons : diamètre 22 mm; hauteur 150 mm; fu=450 MPa

Résistance des goujons :

Ruine par cisaillement de la tige : $P_{Rd}^1 = 0.8 f_u \left(\frac{\pi d^2}{4}\right) / \gamma_v$

Ruine par écrasement du béton : $\mathbf{P}_{Rd}^2 = 0.29 \alpha \, \mathbf{d}^2 \, \sqrt{\mathbf{f}_{ck} \, \mathbf{E}_{cm}} \, / \gamma_v$

Résistance de calcul : $P_{Rd} = MIN (P_{Rd}^1; P_{Rd}^2) = 0,109 MN$

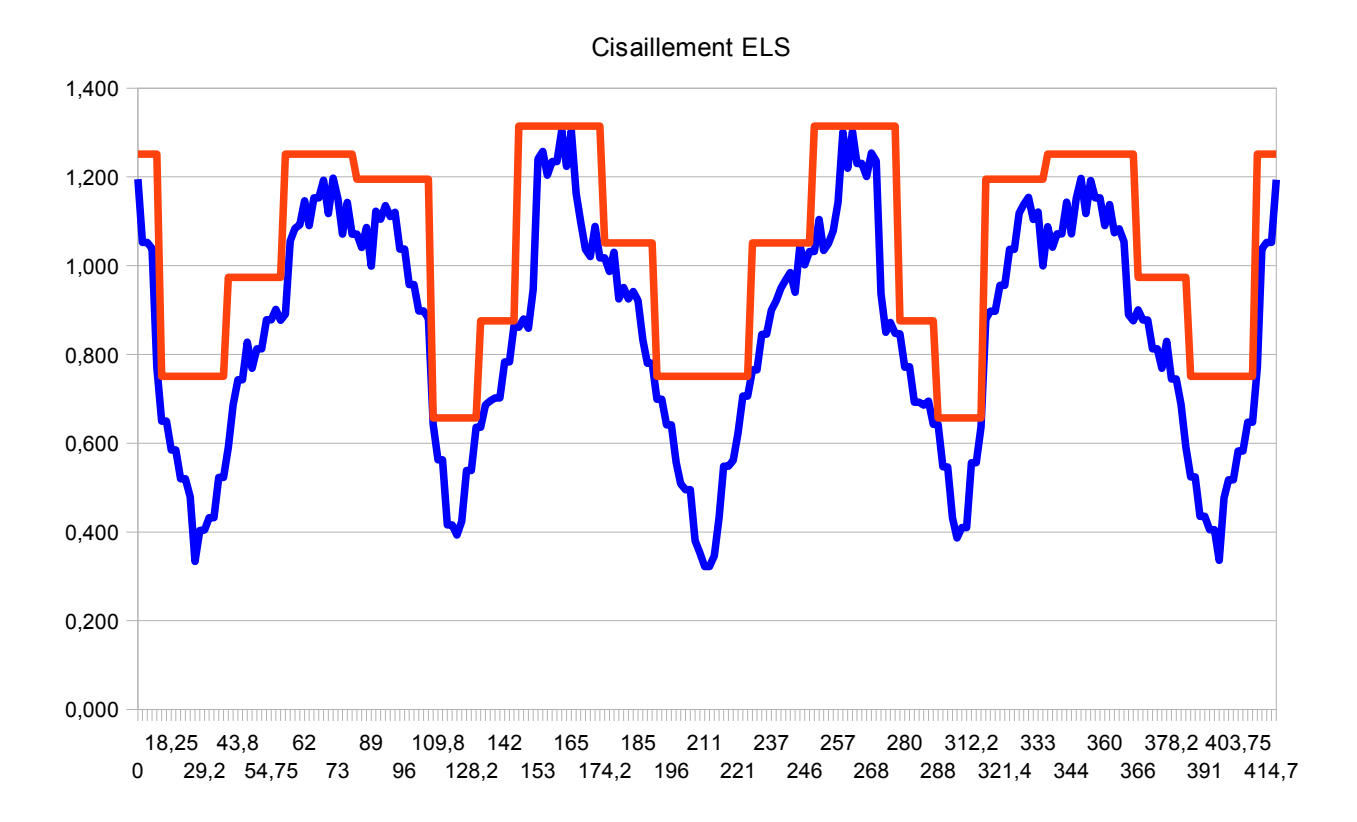
Dimensionnement à l'ELS:

La résistance d'un goujon à l'ELS caractéristique est de $0.6 P_{Rd} = 0.066 MN$

Le nombre de goujons par rangée est égal à 4. L'espacement entre rangées est le suivant (en mm) :

| Abs | 0 – 8 | 8 – 40 | 40- 56 | 56 - 73 | 73 – 80 | 80 -105 | 105 – 135 | 135 - 145 | 145–165 | 165–175 | 175–190 | 190–211 |
|-----|-------|--------|--------|---------|---------|---------|-----------|-----------|---------|---------|---------|---------|
| e= | 210 | 350 | 270 | 210 | 210 | 220 | 400 | 300 | 200 | 200 | 250 | 350 |

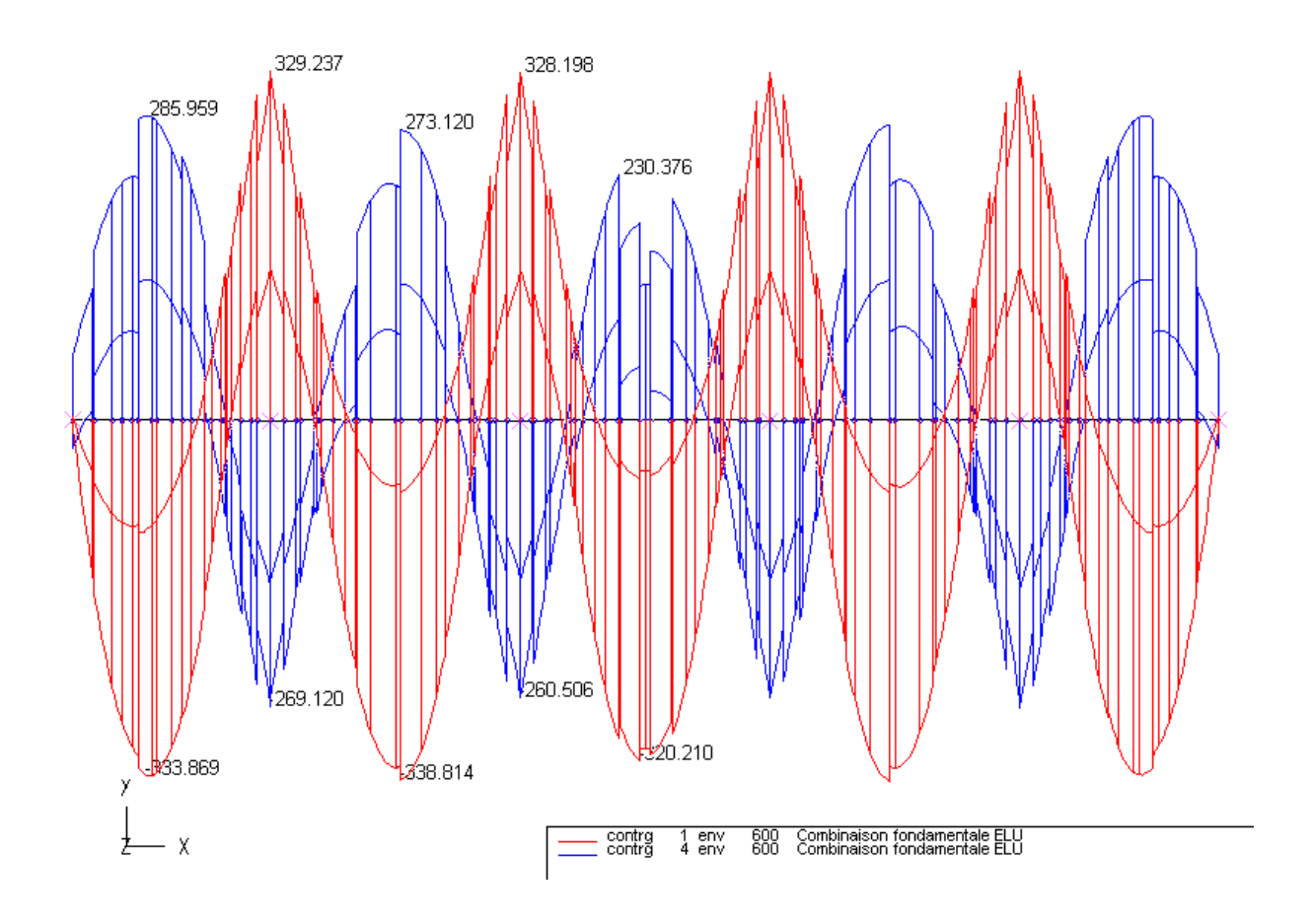
Le diagramme suivant représente le glissement ELS et le glissement repris par les connecteurs en fonction des espacements choisis.



Dimensionnement à l'ELU:

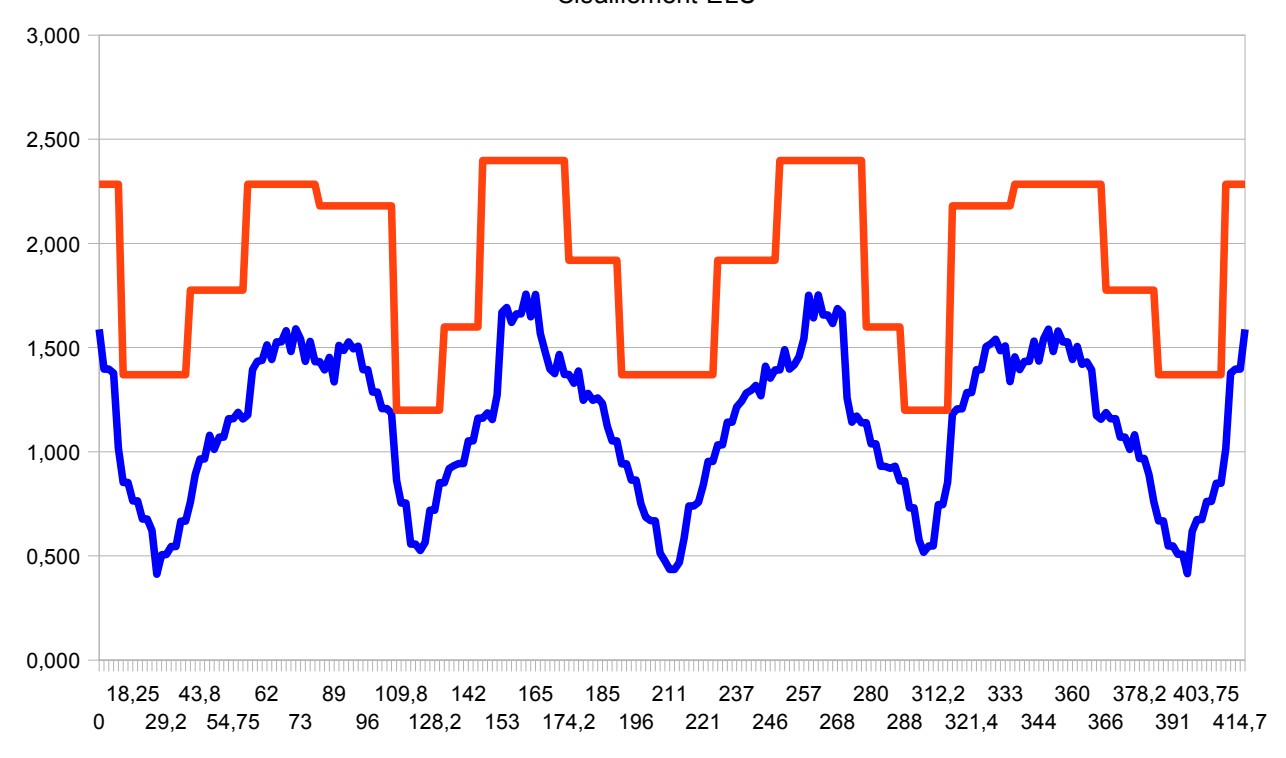
La résistance d'un goujon à l'ELU est égal à P_{Rd} soit 0,109 MN.

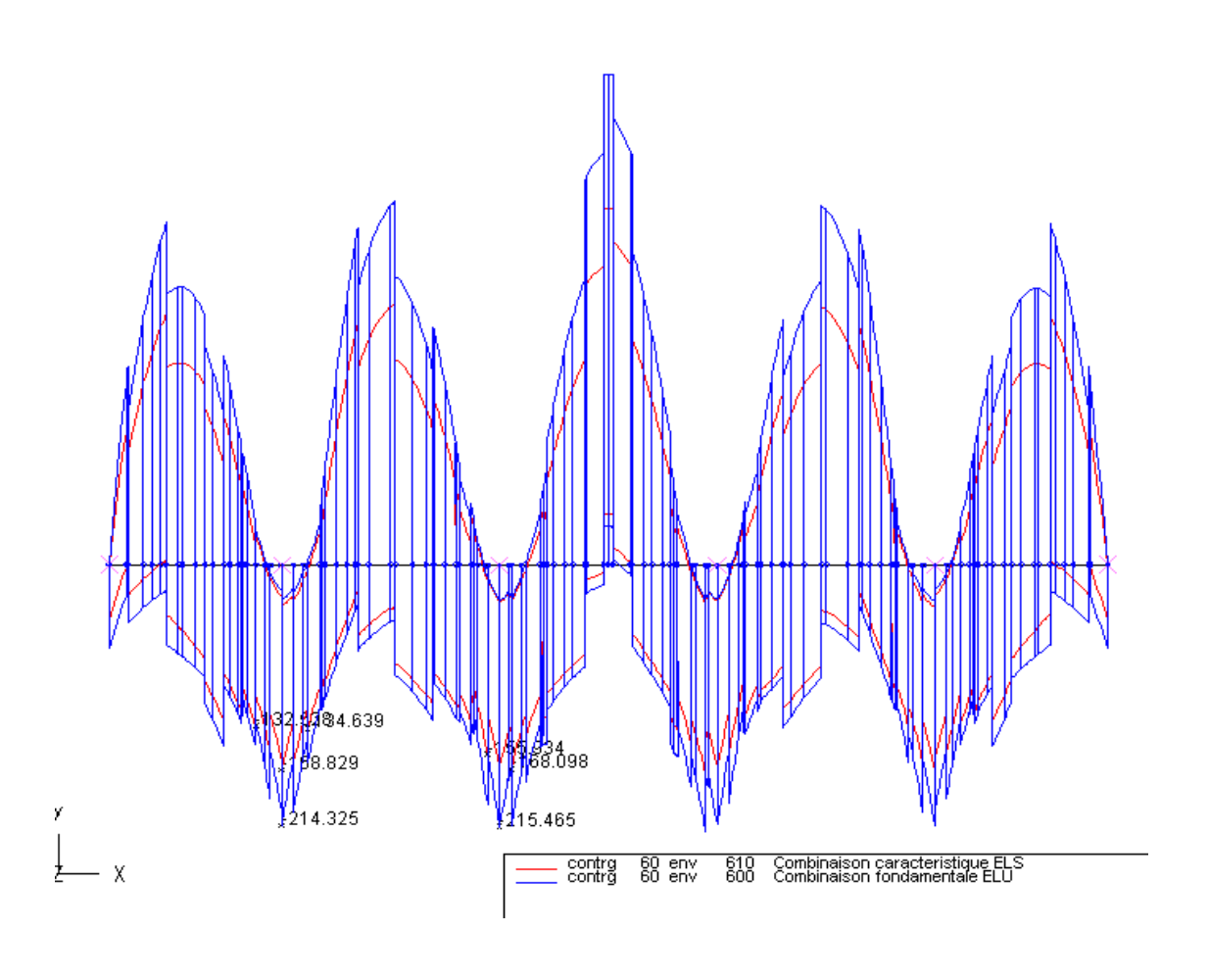
Le diagramme suivant montre les contraintes en FS et FI de la poutre à l'ELU dans les zones de M>0. On constate que la poutre n'est jamais plastifiée. La contrainte maximale en fibre moyenne de semelle reste inférieure à fy=335 MPa.



Nous pouvons effectuer un dimensionnement élastique à l'ELU. Les espacements prévus ci-haut conviennent à l'ELU.

Cisaillement ELU





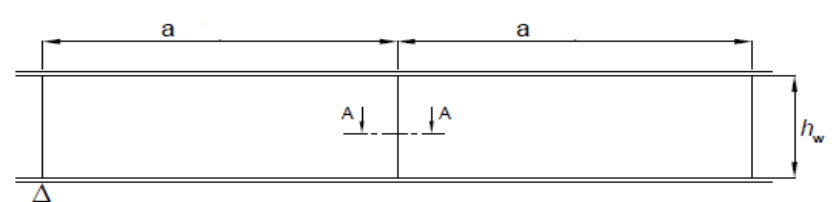
7 Autres justifications

7.1 Rigidité des montants verticaux

Données

Ame PRS

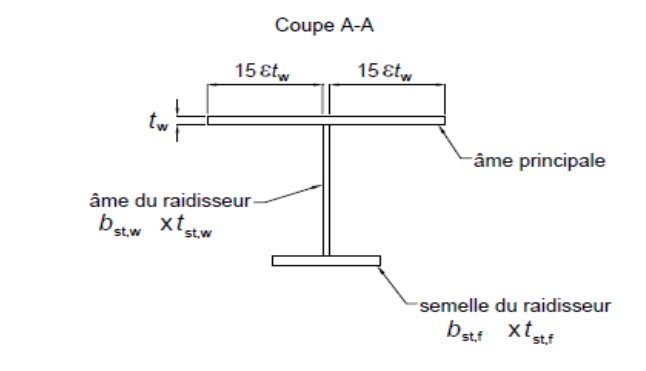
a= 4,00 m hw= 3,51 m tw= 0,030 m fyw= 345 Mpa ε = 0,825



Raidisseur

Ame principale

tw= 0,030 m B.assoc= 0,763 Ame raidisseur tst,w= 0,020 bst.w= 0,460 Semelle raidisseur tst,f= 0,040 m bst,f= 0,440



Ist= 2,611E-3 m4

(Xg = 0,294)

Inertie du raidisseur avec âme associée

Ist= 5,422E-4 m4

IT= 1,061E-5 m4

lw= 6,542E-5 m6

(Xg = 0,106)

Inertie du raidisseur seul

Inertie de torsion du raidisseur seul

IP= 4,991E-3 m4 Inertie polaire du raidisseur seul

Inertie de gauchissement

Vérifications

I. Support rigide des panneaux d'âme

Ist= 2,611E-3 > 1,5hw^3tw^3/a²= 1,095E-4 **OK**

II. Flambement par torsion

1er critère

IT/IP= 2,127E-3 < 5,3.fy/E= 8,71E-3 critère non vérifié

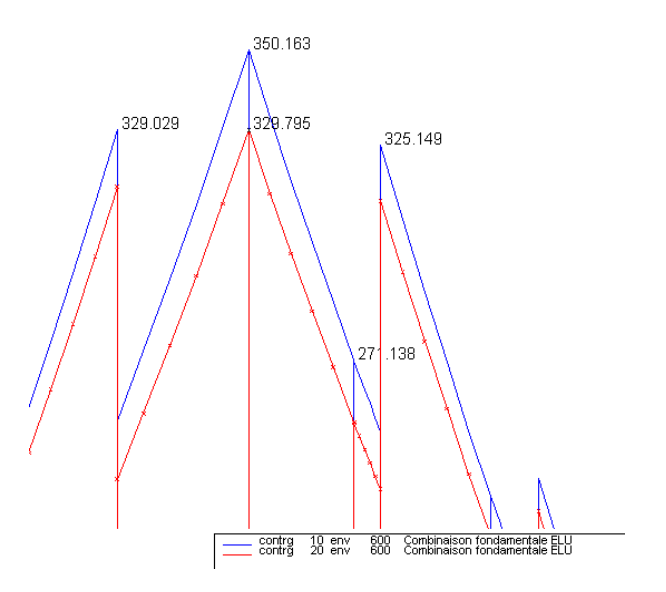
2ème critère

 σ cr= 2377 > 6.fy= 2070 Mpa OK

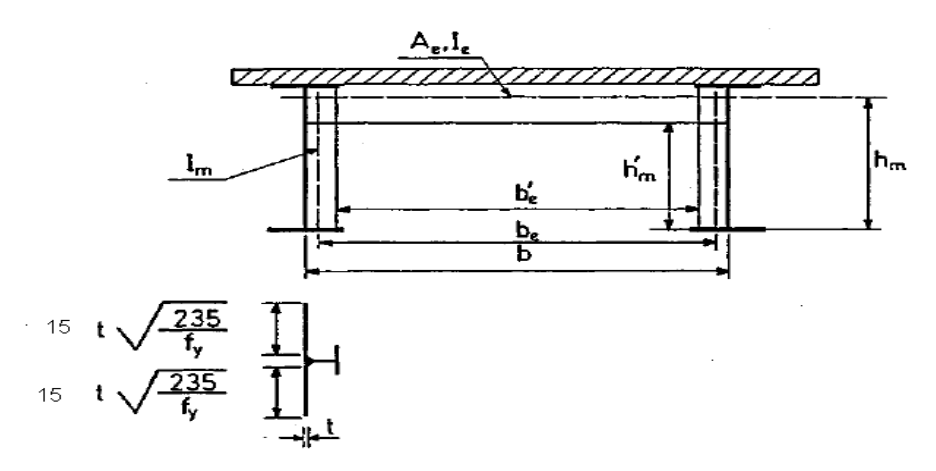
7.2 Déversement de la membrure inférieure

Le calcul est mené suivant la méthode simplifiée de la NF EN 1993-2. Les hypothèses retenues sont les suivantes :

- l'extensibilité de la dalle est négligée,
- la largeur participante de l'âme principale est de 15.ε.tw conformément à l'eurocode,
- la contrainte de compression de la membrure inférieure est prise au droit de la pile (P2), tandis que le calcul est réalisé pour le premier cadre d'entretoisement situé au-delà de la pile.



La contrainte au plan moyen de la semelle est de 340 MPa.



Données

| | | Raidisseur | | | Pièce de pon | nt | |
|-------|--|---|--|---|---|--|--|
| 92 | portée princ. | Ame principa | ale | | Semelle supe | érieure | |
| 4,0 | esp. Raid. | tw= | 0,040 | m | tfspdp= | 0,030 | m |
| 10,3 | m (entraxe) | B.assoc= | 0,897 | m | bspdp= | 0,300 | m |
| 3,60 | m | Ame raidisse | eur | | Ame pdp | | |
| 1,50 | m | tst,w= | 0,020 | m | twpdp== | 0,020 | m |
| 0,100 | m | bst,w= | 0,460 | m | hwpdp= | 2,000 | m |
| 0,040 | m | Semelle raidi | sseur | | Semelle infér | ieure | |
| 440 | Мра | tst,f= | 0,040 | m | tfipdp= | 0,040 | m |
| 0,731 | | bst,f= | 0,440 | m | bipdp= | 0,400 | m |
| | nb ra | aid. par PRS : | 1 | | | | |
| | | (Xg= | 0,343 |) | (Xg= | 0,929 |) |
| 1,530 | m | | | | | | |
| 2,459 | m | | | | Ae= | 0,0650 | m² |
| 9,260 | m | lm= | 3,179E-3 | m4 | le= | 3,846E-2 | m4 |
| 9,946 | m | | | | | | |
| | 4,0 10,3 3,60 1,50 0,100 0,040 440 0,731 1,530 2,459 9,260 | 4,0 esp. Raid. 10,3 m (entraxe) 3,60 m 1,50 m 0,100 m 0,040 m 440 Mpa 0,731 nb ra 1,530 m 2,459 m 9,260 m | 92 portée princ. Ame principal 4,0 esp. Raid. tw= 10,3 m (entraxe) B.assoc= 3,60 m Ame raidisse 1,50 m tst,w= 0,100 m bst,w= 0,040 m Semelle raidi 440 Mpa tst,f= 0,731 bst,f= nb raid. par PRS: (Xg= 1,530 m 2,459 m 9,260 m Im= | 92 portée princ. Ame principale 4,0 esp. Raid. tw= 0,040 10,3 m (entraxe) B.assoc= 0,897 3,60 m Ame raidisseur 1,50 m tst,w= 0,020 0,100 m bst,w= 0,460 0,040 m Semelle raidisseur 440 Mpa tst,f= 0,040 0,731 bst,f= 0,440 nb raid. par PRS: 1 (Xg= 0,343 1,530 m 2,459 m 9,260 m Im= 3,179E-3 | 92 portée princ. Ame principale 4,0 esp. Raid. tw= 0,040 m 10,3 m (entraxe) B.assoc= 0,897 m 3,60 m Ame raidisseur 1,50 m tst,w= 0,020 m 0,100 m bst,w= 0,460 m 0,040 m Semelle raidisseur 440 Mpa tst,f= 0,040 m 0,731 bst,f= 0,440 m nb raid. par PRS: 1 (Xg= 0,343)) 1,530 m m 2,459 m m 9,260 m Im= 3,179E-3 m4 | 92 portée princ. Ame principale Semelle super 4,0 esp. Raid. tw= 0,040 m tfspdp= 10,3 m (entraxe) B.assoc= 0,897 m bspdp= 3,60 m Ame raidisseur Ame pdp 1,50 m tst,w= 0,020 m twpdp== 0,100 m bst,w= 0,460 m hwpdp== 0,040 m hwpdp= 440 Mpa tst,f= 0,040 m semelle infér 440 Mpa tst,f= 0,440 m bipdp= 0,731 bst,f= 0,440 m bipdp= 1,530 m (Xg= 0,343) (Xg= 1,530 m 2,459 m Im= 3,179E-3 m4 Ae= 1,440 m | 92 portée princ. Ame principale Semelle supérieure 4,0 esp. Raid. tw= 0,040 m tfspdp= 0,030 10,3 m (entraxe) B.assoc= 0,897 m bspdp= 0,300 3,60 m Ame raidisseur Ame pdp 1,50 m tst,w= 0,020 m twpdp== 0,020 0,100 m bst,w= 0,460 m hwpdp= 2,000 0,040 m Semelle inférieure 440 Mpa tst,f= 0,040 m Semelle inférieure 440 Mpa tst,f= 0,440 m bipdp= 0,400 nb raid. par PRS : 1 (Xg= 0,929 1,530 m Ae= 0,0650 2,459 m Ae= 0,0650 9,260 m Im= 3,179E-3 m4 Ie= 3,846E-2 |

Flexibilité d'un montant A= 0,001789

Flexibilité de la pièce de pont B= 0,003468

Extensibilité de la pièce de pont C= 0,000339

Déplacements

Forces de même sens : $$\delta 1$=$0,00313$

Forces de force contraire : δ 2= 0,00560

Rigidité du cadre $Cd=min(1/\delta 1 ; 1/\delta 2)$

Cd= **178,72** MN/m

Méthode simplifiée de déversement (EN 1993-2 6.3.4.2)

Effort critique Ncrit=m.Ne

```
c= 44,68 MN/m² 

l= 2,813E-2 m4 

\gamma= 541945 Ncrit= 1027 MN 

m= 149,18 >1 Ne= 6,89 MN
```

Elancement réduit

```
\begin{array}{lll} \text{hw,c=} & 3,405 & \text{m (hauteur d'ame comprimée : attention si section de classe 4)} \\ \text{Aeff=} & 1,954\text{E-1} & \text{m}^2 \\ \text{fy=} & 400 & \text{MPa (fy de la semelle inf)} \end{array}
```

λlt= **0,276**

Courbe de déversement : d (EN 1993-1-1 tab. 6.3 et 6.4)

facteur d'imperfection α It = 0,76

 Φ It= 0,567 χ It= 0,942 <1

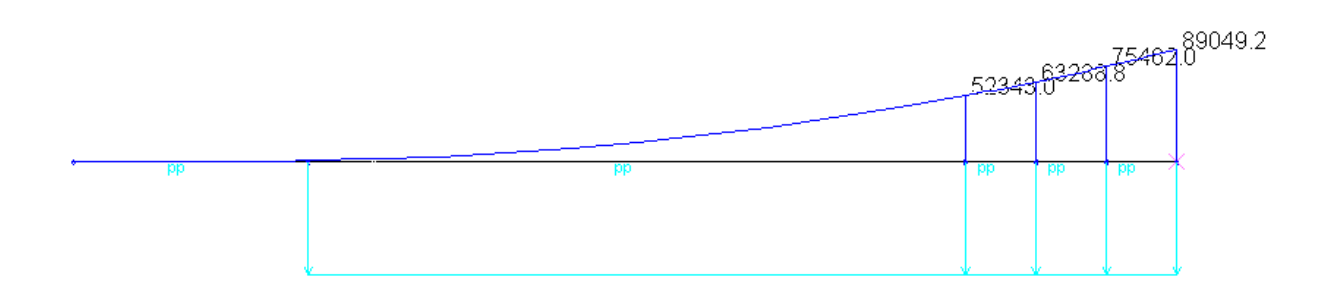
Critère de déversement



La hauteur de pièce de pont de 1,20 m en zone courante est insuffisante vis-à-vis du déversement de la membrure inférieure sur pile. On choisit donc de retenir une hauteur de 2,00 m pour les pièces de pont sur pile et pour les deux situées juste de part et d'autre.

7.3 Lançage

La vérification au lançage est effectuée en considérant un avant-bec de 20 m de longueur et d'un poids de 10 kN/ml. Par ailleurs, une erreur de positionnement longitudinal de tablier de 2 mètres est prise en compte. Le diagramme de moments ci-dessous est établi pour la combinaison 1,05.Gk,sup.





effort MZ charg 1 poids propre definition charg 1 poids propre

Vérifications

| Section | 0 – 56 m | 56 – 62 m | 62 – 68 m | 68 – 74 m | |
|--------------|----------|-----------|-----------|-----------|--|
| | | | | | |
| Aire (m²) | 0,2283 | 0,2722 | 0,3116 | 0,4002 | |
| Inertie (m4) | 0,4868 | 0,5850 | 0,7026 | 0,9316 | |
| vs (m) | 2,007 | 1,992 | 1,992 | 1,956 | |
| fys (MPa) | 345 | 335 | 410 | 400 | |
| vi (m) | 1,593 | 1,608 | 1,608 | 1,644 | |
| fvi (MPa) | 335 | 335 | 410 | 400 | |

| Msollicitant (MN.m) | 52,34 | 63,29 | 75,46 | 89,05 |
|----------------------|-------|-------|-------|-------|
| σ s max (MPa) | 215,8 | 215,5 | 213,9 | 187,0 |
| vérification | OK | OK | OK | OK |
| σ i max (MPa) | 171,3 | 174,0 | 172,7 | 157,1 |
| vérification | OK | OK | OK | OK |